

Инварианты почти вложений графов в плоскость

Э. АЛКИН, А. МИРОШНИКОВ, А. СКОПЕНКОВ

Аннотация. Изображение графа на плоскости называется *почти вложением*, если образы любых двух несмежных симплексов (т. е. вершин или ребер) не пересекаются. Почти вложения (точнее, их многомерные обобщения) естественно возникают в комбинаторной геометрии, топологической комбинаторике, а также при изучении вложений гиперграфов. Мы доказываем некоторые соотношения между инвариантами почти вложений. Мы показываем связь некоторых из этих соотношений с *гомологиями взрезанного квадрата* графа. Мы строим почти вложения, реализующие некоторые значения этих инвариантов.

В этом обзоре доступно (для неспециалистов в этой области, в частности, студентов) излагаются некоторые идеи алгебраической и геометрической топологии. Все необходимые определения напоминаются. Несмотря на элементарность, обзор мотивирован передним краем науки; имеется несколько гипотез и нерешенных проблем.

СОДЕРЖАНИЕ

1. Введение	1
2. Число оборотов: определение и обсуждение	5
2.A. Построение примера 2.7	7
3. Обратное число: определение и обсуждение	8
3.A. Построение примера 3.5	10
4. Обратные числа почти вложений графа K_4	12
4.A. К доказательству теоремы 4.3	13
5. Обратные числа почти вложений графов	15
5.A. Доказательства теорем 4.2 и 5.3.a	17
5.B. Построение примера 5.7	18
6. Проблема описания значений обратных чисел	20
7. Циклическое и триодическое числа: определения и обсуждение	21
8. Связь инвариантов друг с другом	24
8.A. Доказательства утверждений 8.1 и 8.2	25
9. Более общие инварианты: числа ν	28
10. О классификации почти вложений	32
11. Почти вложения для многомерного случая	34
Список литературы	36

1. ВВЕДЕНИЕ

О стиле этого текста. Основные идеи представлены на «олимпиадных» примерах: на простейших частных случаях, свободных от технических деталей, и со сведением к необходимому минимуму научного языка. Благодаря этому и большая часть текста доступна для неспециалистов в топологии (в частности, для специалистов по компьютерной науке), и удастся быстро добраться до интересных результатов.

Исследование выполнено за счет гранта Российского научного фонда № 25-21-00685, <https://rscf.ru/project/25-21-00685/>. Мы благодарны Д. Акимову, М. Дидину, Д. Мусатову, О. Стырту и особенно Е. Дженжер (Бордачевой), Т. Гараеву и О. Никитенко за полезные обсуждения.

Все необходимые определения (отображения графа в плоскость, числа оборотов замкнутой ломаной вокруг точки и т.д.) напомним в §2, §3. Приводимые там определения более простые, чем во многих учебниках.

Изображения без самопересечений графов на плоскости (т. е. вложения или плоские графы) активно изучаются. Также интересны изображения графов, имеющие «умеренные» самопересечения, например, определяемые чуть ниже *почти вложения*.

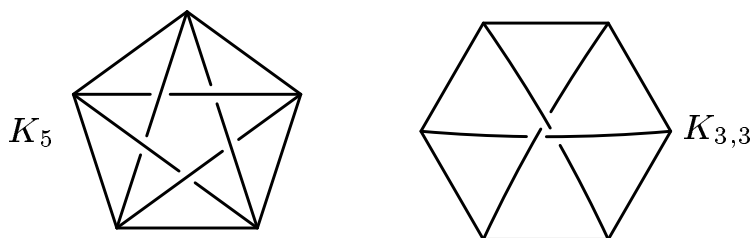


Рис. 1.1. Непланарные графы K_5 и $K_{3,3}$

Одно из доказательств непланарности (т. е. невложимости в плоскость) графа K_5 или $K_{3,3}$ обобщается до следующего результата.

Теорема 1.1 (Ханани–Татт; ван Кампен–Флорес). Пусть граф K — это K_5 или $K_{3,3}$. Для любого отображения $K \rightarrow \mathbb{R}^2$ существуют два несмежных ребра графа K , образы которых пересекаются.

Эта теорема вытекает [Sk18, §1.4] из ее количественной версии (теорема 5.10).

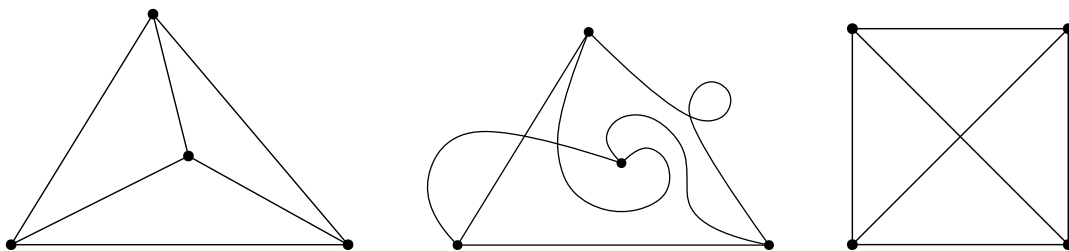


Рис. 1.2. Вложение, почти вложение и отображение (изображение), которое не является почти вложением

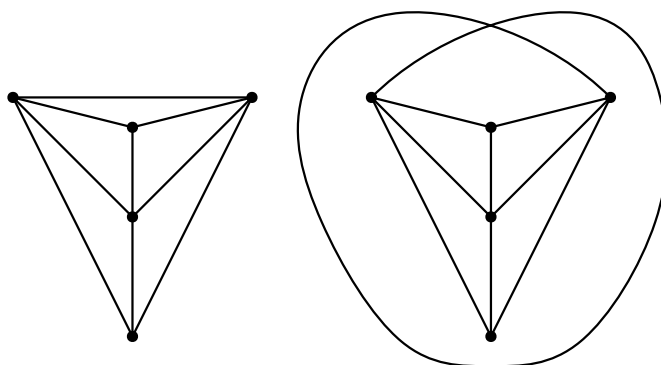


Рис. 1.3. Вложение и почти вложение графа K_5 без ребра

Отображение $f : K \rightarrow \mathbb{R}^2$ произвольного графа K называется **почти вложением**, если $f(\alpha) \cap f(\beta) = \emptyset$ для любых двух несмежных симплексов (т. е. вершин и ребер) $\alpha, \beta \subset K$. Т. е. если

- (i) образы несмежных ребер не пересекаются,

- (ii) образ любой вершины не лежит на образе никакого ребра, несмежного с этой вершиной,
- (iii) образы различных вершин различны.

Например,

- почти вложение графа K_3 в плоскость определяется тройкой точек A, B, C на плоскости вместе с тройкой ломаных $A \dots B, B \dots C, C \dots A$, каждая из которых проходит ровно через две точки из $\{A, B, C\}$;
- почти вложение графа K_4 в плоскость определяется четверкой точек A, B, C, D на плоскости вместе с тремя парами $\{A \dots B, C \dots D\}, \{A \dots C, B \dots D\}, \{A \dots D, B \dots C\}$ ломаных, в каждой паре из которых ломаные не пересекаются;
- почти вложений графов K_5 и $K_{3,3}$ в плоскость не существует (теорема 1.1).

Более подробная мотивировка понятия почти вложения приведена в замечании 1.3.

Замечание 1.2 (обсуждение определения почти вложения). Этот текст касается в первую очередь *инвариантов* почти вложений, а не проблем *существования* почти вложений. Поэтому мы сохраняем в определении свойства (ii, iii), выполнения которых можно добиться достаточно малым шевелением отображения, с сохранением свойства (i). *Если граф допускает почти вложение в плоскость, то граф планарен* (это следует из теоремы 1.1 и теоремы Куратовского [Tu84, Theorem XI.60]). Однако существуют значения инвариантов, реализуемые некоторыми почти вложениями, но не реализуемые никакими вложениями (это следует из примеров 4.1.ас, а также из второго предложения после формулировки теоремы 4.2 вместе с примером 4.1.б и теоремой 4.3).

Описание содержания обзора.

Мы изучаем целочисленные инварианты почти вложений: обратное (§3), циклическое и триодическое числа¹ (§7). Здесь инварианты — просто числа, сопоставленные почти вложению (мы не используем понятие *почти изотопии*, относительно которой эти числа инвариантны, вне замечания 1.3.а и §10).

Мы приводим некоторые *соотношения* между значениями этих инвариантов.

Некоторые из них связаны с *теоремой 2.3 Борсука–Улама*. Для графа K_4 такое соотношение (теорема 4.2) — эквивалентная версия знаменитой топологической теоремы 5.12 Радона. Для графа, полученного из K_5 удалением ребра, такое соотношение (теорема 5.3.а) — эквивалентная версия теоремы 1.1 (точнее, ее количественной версии — знаменитой теоремы 5.10 Ханани–Татта–ван Кампена–Флореса). Более сильное соотношение для графа K_5 без ребра (теорема 5.3.б) — недавний нетривиальный результат Тимура Гараева [Ga23]. Он уже не следует из теоремы Борсука–Улама или ее аналога, а *доказывается геометрически*. Утверждения о нечетности циклического (7.2) и триодического (7.5) чисел — простые следствия теоремы Борсука–Улама (см. вывод в замечании 7.7.с; мы также приводим прямые элементарные доказательства).

Другие доказываемые соотношения связаны с гомологиями *конфигурационного пространства* \tilde{K} размещений из графа K по две точки (см. подробное определение и обсуждение в замечании 9.2). Это соотношения между инвариантами почти вложений графа K_4 (утверждения 8.1 и 8.2), графа K_5 без ребра (утверждение 5.1), и графа $K_{3,3}$ без ребра (утверждение 5.5).

Мы рассматриваем *инварианты, обобщающие* обратные, циклические и триодические числа. Эти инварианты, называемые *C-числами* V_u , параметризованы элементами C группы гомологий $H_1(\tilde{K}; \mathbb{Z})$ (см. определение в абзаце перед проблемой 9.5). Оказывается, что *любое C-число V_u выражается через обратные, циклические и триодические числа* (теоремы 9.6 и 9.7).

Мы приводим *построения* почти вложений, реализующих некоторые значения изучаемых инвариантов. Один из примеров (теорема 4.3) показывает, что нет ограничений на значения

¹Видимо, определения триодического и циклического чисел не встречаются в литературе. Но эти определения просты и естественны, поэтому их следует считать известными.

оборотных чисел для графа K_4 , кроме теоремы 4.2. (Более точно, в предыдущем предложении «оборотных чисел» нужно заменить на «оборотных чисел вида $w_f(j)$ »; см. определение перед утверждением 3.4 и обсуждение перед проблемой 6.1.) Это недавний результат Э. Алкина и А. Мирошникова [AM25]. Другой пример (5.7) показывает, что нет ограничений на значения оборотных чисел, упомянутых в теореме 5.6, для графа $K_{3,3}$ без ребра, кроме теоремы 5.6. Остальные примеры просты и наглядны (примеры 7.3, 7.6; рисунки 4.2, 8.1).

Мы выдвигаем нерешенную проблему 6.1 и ее обобщение 9.5 об описании значений инвариантов, реализуемых почти вложениями. Мы выделяем ее частный случай о реализации почти вложениями значений оборотных чисел для графа, полученного из K_5 удалением ребра (гипотеза 6.3), а также обсуждаем связанные с ней гипотезы (5.8 и 10.3). Проблемы 6.1 и 9.5 для графа K_4 решаются теоремами 4.2, 4.3 (для проблемы 9.5 нужны еще дополнительные рассуждения после ее формулировки). Для решения самой проблемы 9.5 могут быть полезны вышеупомянутые теоремы 9.6 и 9.7 о выражаемости.

Все упомянутые выше теоремы, утверждения и примеры, кроме теорем 9.6, 9.7, утверждений 5.1, 5.5, 8.1, 8.2 и примера 5.7, следует считать известными (даже если они не были ранее опубликованы в таком виде).

Несмотря на элементарность, обзор подводит читателя к переднему краю науки, см. замечания 10.2, 11.1, статьи [IKN+, Ni22, Ga23, AM25] (графы на плоскости и в пространстве), [Sk18] и ссылки в [SS23, первый пункт в последнем абзаце части ‘Some motivation’] (гомологии пространств размещений/сочетаний из графа по две точки).

Замечание 1.3 (к мотивировке понятия почти вложения для графов). (а) Непрерывная деформация в классе почти вложений (*почти изотопия*) изучается для графов в \mathbb{R}^3 , начиная с [Ta94] (под названиями *слабая гомотопия* или *вершинная гомотопия*). Ссылки на более поздние статьи, в которых изучается это понятие, см. в [FN09].

(б) Естественное более общее понятие (*AT graph*) изучается, начиная с [KLN]; ссылки на более поздние статьи, в которых оно изучается, см. в [Ky20]. Многомерный аналог этого общего понятия настолько полезен, что он использовался в [Sk02, Disjunction Theorem 3.1] без явного выделения термина.

(с) Ясно, что свойство «быть почти вложением» сохраняется при достаточно малых шевелениях отображения (в отличие от свойства «быть вложением», аналогичная устойчивость справедлива для свойств «быть \mathbb{Z}_2 -вложением» и «быть \mathbb{Z} -вложением»; см. определения в замечании 1.4). Поэтому, аппроксимируя непрерывное отображение кусочно-линейным (PL), получаем, что для графов в поверхностях

- топологическое вложение может быть приближено PL почти вложением;
- PL или топологическое почти вложение может быть приближено PL почти вложением общего положения;
- PL почти вложимость эквивалентна топологической почти вложимости.

(д) Почти вложения графов интересны также как частный случай почти вложений гиперграфов в многомерные пространства, см. обсуждение основных результатов в §11.

Замечание 1.4 (алгебраические версии почти вложений). При изучении вложений (включая многомерный случай) естественно возникают алгебраические версии почти вложений (\mathbb{Z}_2 - и \mathbb{Z} -вложения).

Возьмем отображение $h : K \rightarrow M$ общего положения (см. строгое определение в [Sk24, Definition 1.1.6.a при $k = 1$]) графа K в двумерную поверхность M . Оно называется \mathbb{Z}_2 -вложением, если число $|h\sigma \cap h\tau|$ четно для любой пары σ, τ несмежных ребер. Для ориентированной поверхности M , оно называется \mathbb{Z} -вложением, если сумма знаков точек пересечений «ориентированных ломаных» $h\sigma, h\tau$ равна нулю для любой пары σ, τ несмежных ребер.

Понятие \mathbb{Z}_2 -вложения (другое название — *отображение Ханана–Татта*) появилось в 1930-х годах (см. теорему 1.1) и активно изучается с 2000-х годов, см. обзор [Sc13] и [SS13, FK19, Vi21]. Оно изучается не только для изображений графов на поверхностях, но и для многомерного случая (см. замечание 11.2.b).

Теорема. (а) Если граф \mathbb{Z}_2 -вложим в ленту Мебиуса, то этот граф вложим в ленту Мебиуса. [СКР+], [PSS]. Если граф \mathbb{Z}_2 -вложим в тор, то этот граф вложим в тор. [FPS].

(б) Существует связный граф \mathbb{Z}_2 -вложимый в сферу с четырьмя ручками, но не вложимый в нее. [FK17].

Неизвестно, влечет ли \mathbb{Z} -вложимость графа в ориентируемую поверхность вложимость этого графа в нее.

Для любой поверхности существует полиномиальный (от размера графа) алгоритм, который по графу K проверяет \mathbb{Z}_2 -вложимость графа K в эту поверхность. Это в сущности известно. Это следует из того, что свойство графа «быть \mathbb{Z}_2 -вложимым в данную поверхность» сохраняется при переходе к его минору (т. е. при удалении ребра или стягивании ребра). Таким образом, по теореме Робертсона–Сеймура о минорах [RS04] существует конечное число запрещенных миноров, характеризующих такое свойство. Также, существует полиномиальный (от размеров графов) алгоритм, проверяющий является ли данный граф минором другого данного графа [KKR]. Поэтому нужный алгоритм получается последовательным запуском алгоритмов проверки наличия каждого запрещенного минора в графе.²

Замечание, аналогичное предыдущему абзацу, справедливо для \mathbb{Z} -вложимости.

Соглашения. Если к утверждению не приведено ни доказательство, ни ссылка на него, то оно несложно. Определения важных понятий даны **жирным шрифтом**, чтобы их было проще найти. *Замечания* не используются в дальнейшем. Рассматриваемые точки, замкнутые ломаные и ломаные расположены на плоскости \mathbb{R}^2 .

2. ЧИСЛО ОБОРОТОВ: ОПРЕДЕЛЕНИЕ И ОБСУЖДЕНИЕ

Пусть O, A, B, A_1, \dots, A_m — точки.

Предположим, что $A \neq O$ и $B \neq O$ (но, возможно, $A = B$). *Ориентированным (или направленным) углом $\angle AOB$* называется число $t \in (-\pi, \pi]$, такое что вектор \overrightarrow{OB} сонаправлен вектору, полученному из \overrightarrow{OA} вращением на угол t против часовой стрелки. (Если рассматривать векторы на плоскости как комплексные числа, то можно переписать это условие как $\overrightarrow{OB} \uparrow e^{it}\overrightarrow{OA}$.)

Замкнутой ломаной называется упорядоченный набор точек (не обязательно различных).³ В этом тексте мы иногда обозначаем упорядоченный набор (A_1, \dots, A_n) через $A_1 \dots A_n$ или A_1, \dots, A_n .

Числом оборотов $w(l) = w(l, O)$ замкнутой ломаной $l = A_1 \dots A_m$ вокруг не лежащей на ней точки O называется количество оборотов при вращении вектора, начало которого находится в точке O , а конец обходит ломаную в заданном направлении. Строго говоря,

$$2\pi \cdot w(l) = 2\pi \cdot w(l, O) := \angle A_1OA_2 + \angle A_2OA_3 + \dots + \angle A_{m-1}OA_m + \angle A_mOA_1$$

— сумма ориентированных углов. См. рисунки 2.1 и 2.2.

Пусть ABC — треугольник и O — точка внутри него. Тогда $w(ABCABC) = 2w(ABC) = \pm 2$. Этот пример показывает, что числа оборотов для разных ломаных с одинаковым объединением их отрезков могут быть разными.

Пример 2.1. Для любых целого числа n и точки O существует замкнутая ломаная, число оборотов которой вокруг O равно n .

²Поскольку мы лишь обосновываем существование такого алгоритма, а не приводим конкретного способа его построения, нам не нужно знать алгоритма, перечисляющего запрещенные миноры. То есть это обоснование неконструктивно. Например, не выписаны запрещенные миноры даже для \mathbb{Z}_2 -вложимости в тор. Кроме того, полиномиальный алгоритм проверки наличия запрещенного минора в графе может на практике быть даже хуже экспоненциального, т. е. может быть «галактическим» [GA].

³Таким образом, замкнутая ломаная (определенная здесь) не является подмножеством плоскости. Тем не менее, иногда мы работаем с замкнутой ломаной $A_1 \dots A_m$ как с объединением отрезков A_iA_{i+1} , например, мы пишем «ломаная, не проходящая через точку».

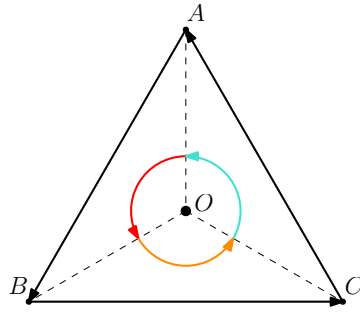


Рис. 2.1. $w(ABC) = \frac{1}{2\pi} (\angle AOB + \angle BOC + \angle COA) = +1$

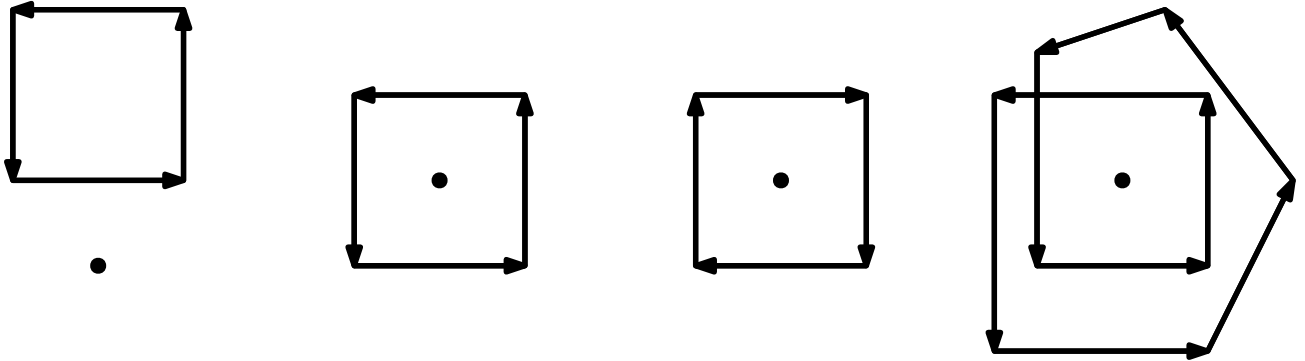


Рис. 2.2. Числа оборотов равны 0, +1, -1, +2

Построение. Если $n = 0$, то примером является замкнутая ломаная, состоящая из одной точки. Если $n \neq 0$, то возьмем правильный треугольник ABC с центром O , ориентированный против часовой стрелки при $n > 0$ (см. рисунок 2.1) и по часовой стрелке иначе. Определим замкнутую ломаную l формулой $l := \underbrace{ABC \dots ABC}_{|n| \text{ раз}}$. Имеем $w(l) = |n| \cdot w(ABC) = n$. \square

Утверждение 2.2. Число оборотов $w(A_1 \dots A_m)$ является целым числом.

Доказательства утверждений этого параграфа см. в [ABM+]. Указание к другому доказательству утверждения 2.2 см. в [ANS, Hint after Proposition 3.4].

Теорема 2.3 (Борсук–Улам). Пусть замкнутая ломаная $A_1 \dots A_{2k}$ не проходит через точку O и симметрична относительно O (т. е. O — середина отрезка $A_j A_{k+j}$ для каждого $j = 1, \dots, k$). Тогда число оборотов этой замкнутой ломаной вокруг точки O нечетно.

Следующие обозначение и утверждение 2.4 будут полезны (например, для доказательства утверждений 2.6, 7.2, 7.5, построения примеров 2.7, 3.5, 4.4 и введения определений в §7).

Ломаной называется упорядоченный набор точек (не обязательно различных).⁴

Пусть $l = A_1 \dots A_m$ — ломаная, не проходящая через точку O . Определим действительное число $w'(l) = w'(l, O)$ формулой

$$2\pi \cdot w'(l) := \angle A_1 O A_2 + \angle A_2 O A_3 + \dots + \angle A_{m-1} O A_m.$$

Очевидно, что

- $w'(A_1 \dots A_m A_1) = w(A_1 \dots A_m)$;
- $w'(A_1 \dots A_m) = w'(A_1 \dots A_j) + w'(A_j \dots A_m)$ для каждого $j = 1, \dots, m$;
- если точки A_2, \dots, A_{m-1} лежат внутри угла $\angle A_1 O A_m$, то $2\pi w'(A_1 \dots A_m) = \angle A_1 O A_m$.

⁴В математике иногда разные вещи имеют одинаковые формализации, а разница проявляется в том, что мы с этими вещами делаем. Тогда формально одинаковые объекты называются по-разному, чтобы сделать более понятными операции над ними. Например, в этом тексте упорядоченный набор точек называется и ломаной, и замкнутой ломаной.

Утверждение 2.4. Имеем $\angle A_1 O A_m = 2\pi w'(A_1 \dots A_m) + 2\pi n$ для некоторого целого n .

Утверждение 2.5. Возьмем точки P_0 и P_1 , соединенные ломаной, не пересекающейся с замкнутой ломаной l . Тогда $w(l, P_0) = w(l, P_1)$.

Обозначим через l^{-1} ломаную, полученную из ломаной l прохождением в противоположном порядке. Очевидно, что $w'(l) = -w'(l^{-1})$.

Конкатенацией ломаных $l_1 = A_1 \dots A_m C$ и $l_2 = C B_1 \dots B_k$ называется ломаная

$$l_1 l_2 := A_1 \dots A_m C B_1 \dots B_k.$$

Имеем $w'(l_1 l_2) = w'(l_1) + w'(l_2)$ для любых точки O и ломаных l_1, l_2 , не проходящих через O .

Конкатенацией замкнутых ломаных $l_1 = A_1 \dots A_m C$ и $l_2 = B_1 \dots B_k C$ называется замкнутая ломаная

$$l_1 l_2 := A_1 \dots A_m C B_1 \dots B_k C.$$

Утверждение 2.6. Пусть O, A, B — три попарно различные точки. Пусть l_1, l_2, l_3 — ломаные, соединяющие точку A с точкой B , и не проходящие через точку O . Тогда $w(l_1 l_2^{-1}) + w(l_2 l_3^{-1}) = w(l_1 l_3^{-1})$.

Доказательство. Имеем

$$w(l_1 l_2^{-1}) + w(l_2 l_3^{-1}) = w'(l_1) + w'(l_2^{-1}) + w'(l_2) + w'(l_3^{-1}) = w'(l_1) + w'(l_3^{-1}) = w(l_1 l_3^{-1}).$$

□

Пример 2.7 (ср. утверждение 2.6; см. построение в §2.A). Пусть O, A, B — три попарно различных точки. Для любых трех целых чисел n_1, n_2, n_3 , таких что $n_1 + n_2 = n_3$, существуют три ломаные l_1, l_2, l_3 , соединяющие точку A с точкой B , не проходящие через точку O , и такие, что

$$w(l_1 l_2^{-1}) = n_1, \quad w(l_2 l_3^{-1}) = n_2 \quad \text{и} \quad w(l_1 l_3^{-1}) = n_3.$$

Простой пример 2.7 предваряет более интересные пример 3.5 и теорему 4.3.

2.A. ПОСТРОЕНИЕ ПРИМЕРА 2.7

Для построения примеров в этом тексте не нужны сложные картинки — достаточно простых преобразований простых картинок. Например, полезно преобразование на рисунке 2.3. На этом и других рисунках мы изображаем кривыми ломаные с большим числом звеньев. Вершины ломаной расположены на кривой в порядке, обозначенном стрелками.

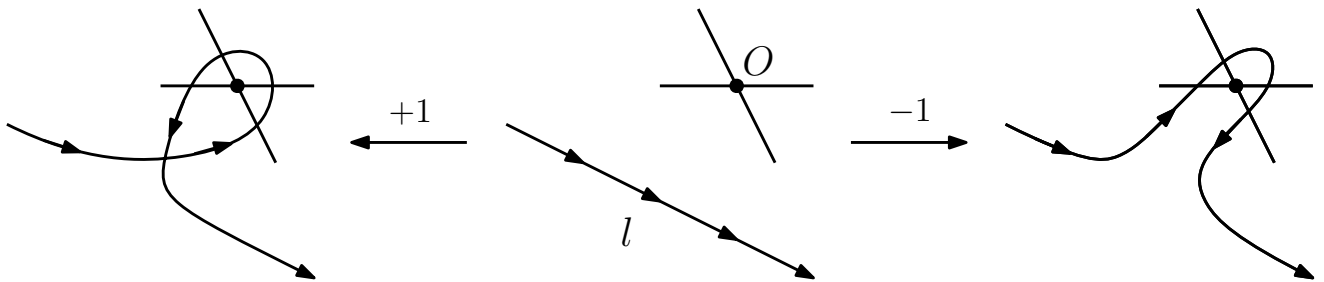


Рис. 2.3. «Пальцевые движения» ломаной l вокруг точки O : положительное (слева) и отрицательное (справа)

Построение примера 2.7. Возьмем такую точку C , что ломаная ACB не проходит через точку O . Положим $l_1 = l_2 = l_3 = ACB$. Сделаем

- $|n_1|$ положительных/отрицательных «пальцевых движений» (рисунок 2.3) ломаной l_1 вокруг точки O , если n_1 положительно/отрицательно соответственно;
- $|n_2|$ положительных/отрицательных «пальцевых движений» ломаной l_3^{-1} вокруг точки O , если n_2 положительно/отрицательно соответственно.

Получим $w(l_1 l_2^{-1}) = n_1$, $w(l_2 l_3^{-1}) = n_2$ и, ввиду утверждения 2.6, $w(l_1 l_3^{-1}) = n_3$. □

Замечание 2.8. В вышеприведенном рассуждении «пальцевые движения» определены картинкой, а не строгим построением. Иногда это считается достаточным для такого рода результатов в научных журналах. Однако мы приведем более строгое построение примера 2.7. Для более сложных результатов такая строгость уже является необходимой.

Более строгое построение оказывается более коротким. Хотя оно основано на идее «пальцевых движений», оказывается более экономным не упоминать в нем «пальцевых движений». (Der Mohr hat seine Arbeit getan, der Mohr kann gehen. F. Schiller.⁵) Так часто бывает при наведении строгости.

Строгие доказательства с явным использованием пальцевых движений получаются применением леммы 3.6.

Пусть l — замкнутая ломаная и $n > 0$ целое. Обозначим через

- l^0 замкнутую ломаную, состоящую из одной точки;
- l^n замкнутую ломаную $\underbrace{l \dots l}_n$;
 n раз
- $l^{-n} := (l^{-1})^n$.

Очевидно, что для любых целого n и точки $O \notin l$ выполнено $w(l^n) = n \cdot w(l)$.

Более явное построение примера 2.7. Выберем точки C, D, E таким образом, что замкнутая несамопересекающаяся ломаная $l := ACBDE$ ориентирована по часовой стрелке, и точка O лежит внутри нее. Положим $l_2 := ACB$, $l_1 := l^{n_1}l_2$, $l_3 := l^{-n_2}l_2$. Тогда

$$w(l_1l_2^{-1}) = w'(l_1) + w'(l_2^{-1}) = w'(l^{n_1}l_2) + w'(l_2^{-1}) = n_1w(l) + w(l_2l_2^{-1}) = n_1,$$

$$w(l_2l_3^{-1}) = w'(l_2) + w'(l_3^{-1}) = w'(l_2) + w'(l_2^{-1}l_3^{n_2}) = w(l_2l_2^{-1}) + n_2w(l) = n_2.$$

Тогда $w(l_1l_3^{-1}) = n_3$ по утверждению 2.6. □

3. ОБОРОТНОЕ ЧИСЛО: ОПРЕДЕЛЕНИЕ И ОБСУЖДЕНИЕ

Замечание 3.1 (некоторые строгие определения). *Графом* (конечным) (V, E) называется конечное множество V вместе с набором $E \subset \binom{V}{2}$ его двухэлементных подмножеств (т. е. неупорядоченных пар несовпадающих элементов). (Общепринятый термин для этого понятия — *граф без петель и кратных ребер* или *простой граф*.) Элементы данного конечного множества называются *вершинами*. Пары вершин из E называются *ребрами*.

Говоря нестрого, граф планарен, если его можно нарисовать «без самопересечений» на плоскости. Строго говоря, граф называется *планарным* (или *кусочно-линейно вложимым* в плоскость), если существует его *вложение* в плоскость, т. е.

- набор точек плоскости, соответствующих вершинам,
- вместе с набором ломаных на плоскости, каждая из которых соединяет те пары из набора точек, которые соответствуют ребрам графа,
- причем ломаные несамопересекающиеся, и никакая из ломаных не пересекает внутренность другой ломаной.⁶

Обозначим через

- K произвольный конечный граф;
- $[n]$ множество $\{1, 2, \dots, n\}$;
- K_n полный граф на множестве $[n]$ вершин;
- $K_{m,n}$ полный двудольный граф с долями $[m]$ и $[n]'$ (мы обозначаем через A' копию множества A).

⁵Мавр сделал свое дело, мавр может уйти. Ф. Шиллер.

⁶Тогда любые две ломаные либо не пересекаются, либо пересекаются только по их общей концевой вершине. Мы не требуем, чтобы «ни одна изолированная вершина не лежала ни на одной из ломаных», поскольку этого свойства можно добиться малым шевелением.

Мы рассматриваем изображения графов на плоскости, при которых ребра изображаются ломаными (и допускаются пересечения этих ломаных). Строго говоря, **отображением** (PL, кусочно-линейным) $f : K \rightarrow \mathbb{R}^2$ называется

- набор точек плоскости, соответствующих вершинам,
- вместе с набором ломаных на плоскости, каждая из которых соединяет те пары из набора точек, которые соответствуют ребрам графа.

(Это то же, что и первые две жирные точки из определения планарности.)

Более точно, каждому ребру соответствует не ломаная, а пара ломаных, получаемых друг из друга прохождением в противоположном порядке. Задание ориентации на ребре графа задает выбор одной из этих двух ломаных.

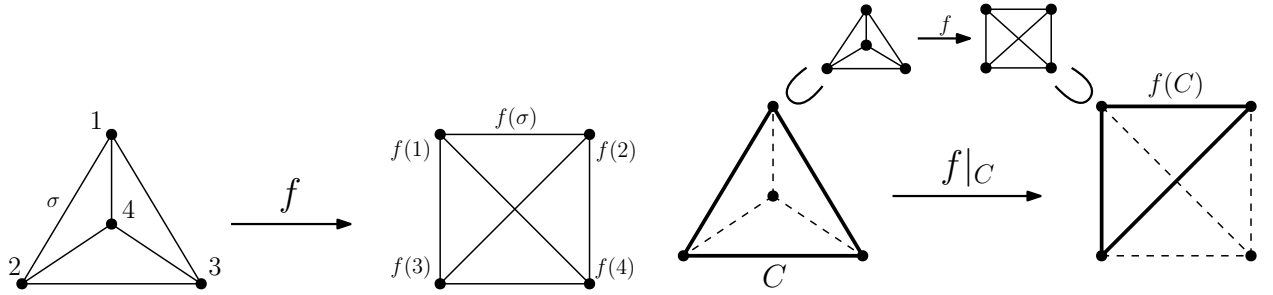


Рис. 3.1. Отображение $f : K_4 \rightarrow \mathbb{R}^2$ (слева); образ $f(C)$ и сужение $f|_C$ (справа)

Образ $f(\sigma)$ ребра σ (при отображении f) — это объединение отрезков соответствующей ломаной (см. сноску 3). **Образ** набора ребер — это объединение образов всех ребер из набора.

Сужение $f|_{ab}$ на ориентированное ребро ab — это соответствующая ломаная с началом $f(a)$ и концом $f(b)$. Последовательность $v_1 \dots v_n$ попарно различных вершин графа K называется (простым) **ориентированным циклом**, если $v_1 v_2, \dots, v_{n-1} v_n, v_n v_1$ — ребра графа K . Ориентация цикла $v_1 \dots v_n$ задает ориентацию на ребрах $v_1 v_2, \dots, v_{n-1} v_n, v_n v_1$ (хотя граф K неориентированный). **Сужением** $f|_C : C \rightarrow \mathbb{R}^2$ на ориентированный цикл $C = v_1 \dots v_n$ в графе K называется замкнутая ломаная, полученная конкатенацией ломаных $f|_{v_1 v_2}, \dots, f|_{v_{n-1} v_n}, f|_{v_n v_1}$ (рисунок 3.1).

На этом языке утверждение 2.6 переформулируется так: для любого отображения $f : K_{3,2} \rightarrow \mathbb{R}^2$ и точки $O \notin f(K_{3,2})$ имеем $w(f|_{1'12'2}) + w(f|_{1'22'3}) = w(f|_{1'12'3})$.

Для $j \in [4]$ обозначим через C_j ориентированный цикл в K_4 , полученный удалением j из последовательности 1234.

Утверждение 3.2. Для любых отображения $f : K_4 \rightarrow \mathbb{R}^2$ и точки $O \in \mathbb{R}^2 - f(K_4)$ выполнено

$$\sum_{j=1}^4 (-1)^j w(f|_{C_j}) = 0 : \quad -w(f|_{234}) + w(f|_{134}) - w(f|_{124}) + w(f|_{123}) = 0.$$

Напомним, что $K - e$ — граф, полученный из графа K удалением ребра e .

Доказательство утверждения 3.2. Вот еще одна переформулировка утверждения 2.6: $w(f|_{123}) + w(f|_{134}) = w(f|_{1234})$ для любого отображения $f : K_4 - 24 \rightarrow \mathbb{R}^2$ и точки $O \notin f(K_4 - 24)$. Поэтому $w(f|_{123}) + w(f|_{134}) = w(f|_{1234}) = w(f|_{2341}) = w(f|_{234}) + w(f|_{124})$. \square

Пример 3.3 (ср. утверждение 3.2). Если $n_1 - n_2 + n_3 - n_4 = 0$ для целых n_1, n_2, n_3, n_4 , то существуют точка O и отображение $f : K_4 \rightarrow \mathbb{R}^2$, такое что $O \notin f(K_4)$ и $w(f|_{C_j}) = n_j$ для каждого $j \in [4]$.

Пример 3.3 строится аналогично примеру 2.7.

Для вершины v и ориентированного цикла C в графе K , таких что $f(v) \notin f(C)$, назовем **оборотным числом** число

$$w_f(C, v) := w(f|_C, f(v)).$$

Назовем отображение $f : K \rightarrow \mathbb{R}^2$ **слабым почти вложением**, если $f(v) \notin f(\sigma)$ для каждой пары из вершины v и ребра $\sigma \not\ni v$. Этого свойства достаточно для того, чтобы все обратные числа $w_f(C, v)$ для любых цикла C и вершины $v \notin C$ в графе K были определены. Любое почти вложение является слабым почти вложением. Обратное верно только для некоторых графов, например, для $K_{3,1}$ и K_3 .

Для слабого почти вложения $f : K_4 \rightarrow \mathbb{R}^2$ и вершины j графа K_4 обозначим

$$w_f(j) := w_f(C_j, j).$$

Утверждение 3.4. Пусть $f : K_4 \rightarrow \mathbb{R}^2$ — слабое почти вложение, а σ — перестановка множества $[4]$ и соответствующий автоморфизм графа K_4 . Тогда

$$w_{f \circ \sigma}(j) = (-1)^{\sigma(j)-j} \operatorname{sgn} \sigma \cdot w_f(\sigma(j)) \quad \text{для каждого } j = 1, 2, 3, 4.$$

Доказательство. Разложим перестановку σ в композицию транспозиций и воспользуемся следующим наблюдением: если σ меняет местами 1 с 2 и оставляет на месте 3, 4, а $g := f \circ \sigma$, то

$$w_g(1) = w_f(2), \quad w_g(2) = w_f(1), \quad w_g(3) = -w_f(3), \quad w_g(4) = -w_f(4).$$

□

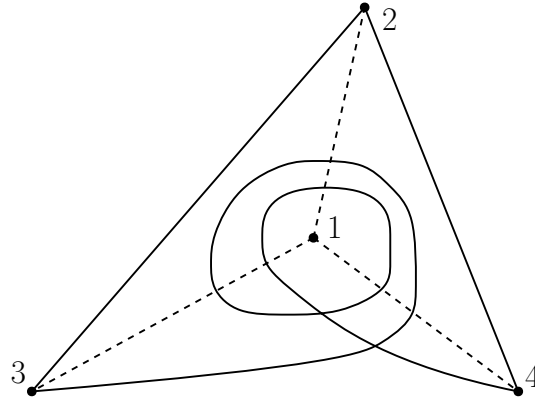


Рис. 3.2. Отображение $f : K_4 \rightarrow \mathbb{R}^2$, такое что $w_f(234, 1) = 3$

Следующий пример показывает, что для слабых почти вложений $f : K_4 \rightarrow \mathbb{R}^2$ наборами обратных чисел $w_f(j)$, $j \in [4]$ реализуема любая четверка целых чисел.

Пример 3.5 (ср. рисунок 3.2). Для любых целых n_1, n_2, n_3, n_4 существует слабое почти вложение $f : K_4 \rightarrow \mathbb{R}^2$, такое что $w_f(j) = n_j$ для каждого $j \in [4]$.

Здесь и далее на рисунках вместо $f(i)$ мы коротко пишем i .

Простой пример 3.5 предваряет более интересную теорему 4.3.

3.А. ПОСТРОЕНИЕ ПРИМЕРА 3.5

Построение примера 3.5 для $n_2 = n_3 = n_4 = 0$. Квадрат с диагоналями образует слабое почти вложение $g : K_4 \rightarrow \mathbb{R}^2$; пронумеруем его вершины $g(j)$, $j \in [4]$ против часовой стрелки. Тогда $w_g(j) = 0$ для каждого $j \in [4]$.

Сделаем $|n_1|$ положительных/отрицательных «пальцевых движений» (рисунок 2.3) ломаной $g|_{23}$ вокруг точки $g(1)$, если n_1 положительно/отрицательно соответственно. Причем сделаем эти преобразования так, чтобы полученное отображение f было слабым почти вложением. Тогда $w_f(1) = n_1$ и $w_f(j) = 0$ для каждого $j = 2, 3, 4$. □

Построение примера 3.5. Возьмем слабое почти вложение f из идеи построения примера 3.5 для $n_2 = n_3 = n_4 = 0$. Сделаем

- $|n_2|$ положительных/отрицательных «пальцевых движений» ломаной $f|_{34}$ вокруг точки $f(2)$, если n_2 положительно/отрицательно соответственно;

- $|n_3|$ положительных/отрицательных «пальцевых движений» ломаной $f|_{41}$ вокруг точки $f(3)$, если n_3 положительно/отрицательно соответственно;
- $|n_4|$ положительных/отрицательных «пальцевых движений» ломаной $f|_{12}$ вокруг точки $f(4)$, если n_4 положительно/отрицательно соответственно.

Эти три преобразования можно сделать так, чтобы полученное в результате отображение было слабым почти вложением. Оно является искомым. \square

Вышеприведенное построение можно коротко сформулировать так: для каждого $j \in [4]$ и j -ого ориентированного ребра σ_j из четверки $(23, 34, 41, 12)$ последовательно сделаем $|n_j|$ положительных/отрицательных «пальцевых движений» ломаной $f|_{\sigma_j}$ вокруг точки $f(j)$, если n_j положительно/отрицательно соответственно.

Мотивировка дальнейшего аналогична замечанию 2.8.

Более явное построение примера 3.5. В дальнейших равенствах цифры слева от знака равенства являются вершинами графа K_4 , справа — точками плоскости, изображенными на рисунке 3.3.

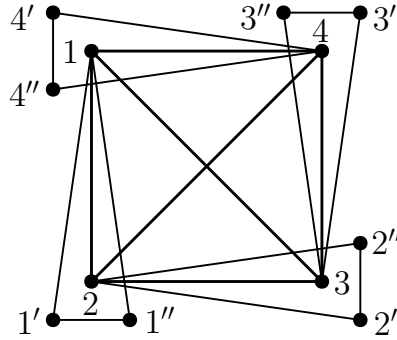


Рис. 3.3. К построению примера 3.5

Положим $f(j) = j$ для каждого $j \in [4]$, $f|_{13} = 13$, $f|_{24} = 24$ и

$$f|_{12} = 1(22'2'')^{n_3}2, \quad f|_{23} = 2(33'3'')^{n_4}3, \quad f|_{34} = 3(44'4'')^{n_1}4, \quad f|_{41} = 4(11'1'')^{n_2}1.$$

Докажем, что отображение f является искомым. Имеем

$$\begin{aligned} w_f(1) &= w_f(234, 1) = w'(f|_{23}, f(1)) + w'(f|_{34}, f(1)) + w'(f|_{42}, f(1)) = \\ &= w'(2(33'3'')^{n_4}3, 1) + w'(3(44'4'')^{n_1}4, 1) + w'(42, 1) = n_4 w(33'3'', 1) + n_1 w(44'4'', 1) + w(234, 1) = n_1. \end{aligned}$$

Для остальных чисел оборотов доказательства аналогичны. (Похожие вычисления уже встречались в построении примера 2.7.) \square

Приведем другое построение примера 3.5, полезное для обобщений.

Для вершины v и ориентированного ребра τ в графе K , таких что $f(v) \notin f(\tau)$, положим

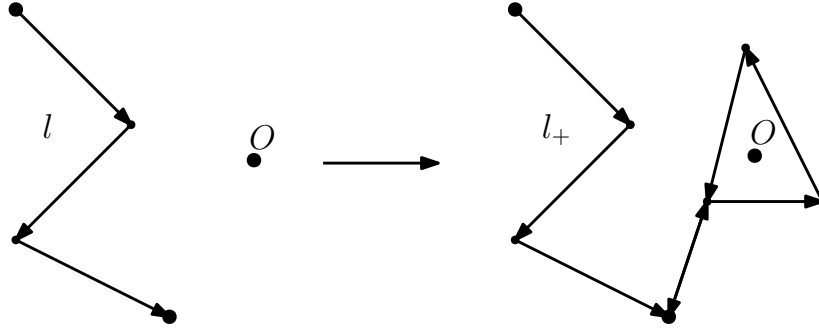
$$w'_f(\tau, v) := w'(f|_\tau, f(v)).$$

Лемма 3.6 (ср. [KS20, Lemma 2.1]). *Для любых графа K , его ориентированного ребра ab , его вершины $j \notin ab$, знака $s \in \{-1, +1\}$ и слабого почти вложения $g : K \rightarrow \mathbb{R}^2$ существует слабое почти вложение $f : K \rightarrow \mathbb{R}^2$, такое что*

- (1) $w'_f(ab, j) = w'_g(ab, j) + s$ и
- (2) $w'_f(\sigma, v) = w'_g(\sigma, v)$ для любых ориентированного ребра $\sigma \neq ab, ba$ и вершины $v \neq j$, $v \notin \sigma$.

Доказательство. Пусть имеется ломаная $l = A_1 \dots A_m$ и треугольник с вершинами X, Y, Z , обозначенными против часовой стрелки. Точка O лежит внутри треугольника XYZ .

Будем говорить, что ломаная l_+ получена из ломаной l положительным пальцевым движением вокруг точки O , если $l_+ = A_1 \dots A_m XYZXA_m$. Аналогично l_- получена из ломаной l отрицательным пальцевым движением вокруг точки O , если $l_- = A_1 \dots A_m XZYXA_m$.

РИС. 3.4. Положительное пальцевое движение ломаной l вокруг точки O

Легко видеть, что $w'(l) = w'(l_+) - 1 = w'(l_-) + 1$.

Сделаем пальцевое движение ломаной $g|_{ab}$ вокруг $g(j)$ так, что

- (i) $g(j)$ единственный образ вершины графа внутри треугольника XYZ ,
- (ii) отрезок $g(b)X$ не содержит образов вершин графа K , отличных от a и b ,
- (iii) движение положительное, если $s = +1$, иначе отрицательное.

Отображение f , полученное в результате этого пальцевого движения, является искомым. Условия (i, iii) влекут условия (1, 2). Отображение f является слабым почти вложением ввиду условия (ii). \square

Другое построение примера 3.5. Квадрат с диагоналями образует слабое почти вложение $g : K_4 \rightarrow \mathbb{R}^2$; пусть вершины $g(j)$, $j \in [4]$ пронумерованы против часовой стрелки. Тогда $w_g(C_j, j) = 0$ для каждого $j \in [4]$.

Многочисленным применением леммы 3.6 к отображению g получим слабое почти вложение $f : K_4 \rightarrow \mathbb{R}^2$, такое что

$$\begin{aligned} w'_f(23, 1) &= w'_g(23, 1) + n_1, & w'_f(34, 2) &= w'_g(34, 2) + n_2, \\ w'_f(41, 3) &= w'_g(41, 3) + n_3, & w'_f(12, 4) &= w'_g(12, 4) + n_4 \end{aligned} \quad \text{и}$$

$w'_f(\sigma, v) = w'_g(\sigma, v)$ для каждой пары (σ, v) , $v \notin \sigma$, отличной от перечисленных.

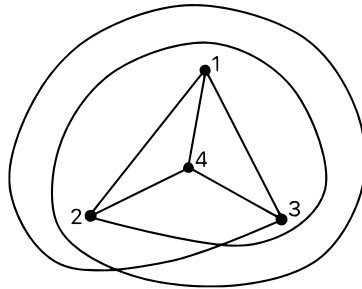
Ввиду равенства $w_f(ijk, v) = w'_f(ij, v) + w'_f(jk, v) + w'_f(ki, v)$ для любого отображения f , цикла ijk и вершины $v \notin ijk$, отображение f является искомым. \square

4. ОБОРОТНЫЕ ЧИСЛА ПОЧТИ ВЛОЖЕНИЙ ГРАФА K_4

Пример 4.1. (a) Для любого целого n существует почти вложение $f : K_3 \sqcup \{4\} \rightarrow \mathbb{R}^2$, такое что $w_f(4) = n$.

(b) Для любого целого n существует почти вложение $f : K_4 \rightarrow \mathbb{R}^2$, такое что $w_f(4) = n$. (См. рисунок 4.1 для $n = 3$.)

(c) Для любого вложения $f : K_3 \sqcup \{4\} \rightarrow \mathbb{R}^2$ имеем $w_f(4) \in \{-1, 0, 1\}$ (это утверждение близко к теореме Жордана).

РИС. 4.1. Почти вложение $f : K_4 \rightarrow \mathbb{R}^2$, такое что $w_f(4) = 3$

Для слабого почти вложения $f : K_4 \rightarrow \mathbb{R}^2$ обозначим

$$W_f := \sum_{j=1}^4 (-1)^j w_f(j) = -w_f(234, 1) + w_f(134, 2) - w_f(124, 3) + w_f(123, 4).$$

Знак $(-1)^j$, не влияющий на четность, введен ради кососимметричности: по утверждению 3.4 имеем $W_{f \circ \sigma} = \text{sgn } \sigma \cdot W_f$ для любой перестановки σ множества [4].

Теорема 4.2. *Для любого почти вложения $f : K_4 \rightarrow \mathbb{R}^2$ число W_f нечетно.*

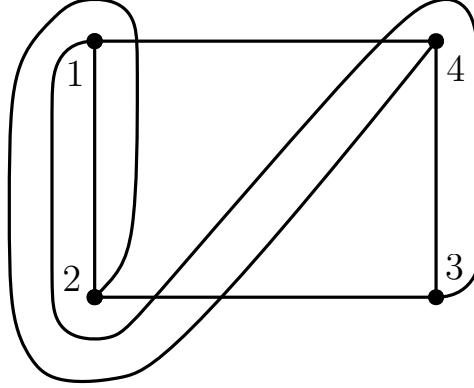


Рис. 4.2. (Е. Морозов) Почти вложение $f : K_4 \rightarrow \mathbb{R}^2$, такое что $W_f = 3 \neq \pm 1$

Аналог теоремы 4.2 для вложений вместо почти вложений выглядит проще (он близок к теореме Жордана). Более того, для любого вложения $f : K_4 \rightarrow \mathbb{R}^2$ три из четырех чисел из теоремы 4.2 равны нулю, а оставшееся равно ± 1 . А если f лишь почти вложение, то число W_f может принимать значения, отличные от ± 1 (см. рисунок 4.2). Аналог теоремы 4.2 для слабых почти вложений вместо почти вложений неверен по утверждению 3.5. В отличие от утверждения 3.2, теорема 4.2 не следует из «соотношения $123 + 134 + 142 + 243 = 0$ в графе». Доказательства теоремы 4.2 приведены в §5.А, §8.

Теорема 4.3 ([AM25], ср. теорему 4.2). *Для любых целых чисел n_1, n_2, n_3, n_4 , сумма которых нечетна, существует почти вложение $f : K_4 \rightarrow \mathbb{R}^2$, такое что $w_f(j) = n_j$ для каждого $j \in [4]$:*

$$w_f(234, 1) = n_1, \quad w_f(134, 2) = n_2, \quad w_f(124, 3) = n_3, \quad w_f(123, 4) = n_4.$$

4.А. К ДОКАЗАТЕЛЬСТВУ ТЕОРЕМЫ 4.3

Теорема 4.3 следует из двух лемм [AM25, Lemma 1 и Lemma 2]. К доказательству [AM25, Lemma 1] подводит построение примера 5.14. Следующий пример является частным случаем теоремы 4.3, но его построение проще и подводит к доказательству [AM25, Lemma 2].

Пример 4.4 (ср. пример 3.5). *Для любых целых n_1, n_2, n_3, n_4 , таких что $\sum_{j=1}^4 (-1)^j n_j = \pm 1$ существует почти вложение $f : K_4 \rightarrow \mathbb{R}^2$, такое что $w_f(j) = n_j$ для каждого $j \in [4]$.*

Сведение примера 4.4 к частному случаю. Достаточно построить почти вложение для $N := \sum_{j=1}^4 (-1)^j n_j = 1$. Тогда нужное почти вложение существует и для $N = -1$, поскольку ввиду утверждения 3.4 имеем $W_{f \circ \sigma} = -W_f$ для любой нечетной перестановки σ множества [4]. \square

Построение примера 4.4 для частного случая $N = 1$. Правильный треугольник с его центром и ребрами, соединяющими центр с вершинами, образуют отображение $f : K_4 \rightarrow \mathbb{R}^2$; пусть вершины $f(1), f(2), f(3)$ пронумерованы против часовой стрелки. Тогда $w_f(C_j, j) = 0$ для каждого $j \in [3]$, и $w_f(C_4, 4) = 1$. Сделаем

- $|n_1|$ положительных/отрицательных «пальцевых движений» ломаной $f|_{23}$ вокруг отрезка $f(14)$ (рисунок 4.3, ср. рисунок 2.3), если n_1 положительно/отрицательно соответственно;

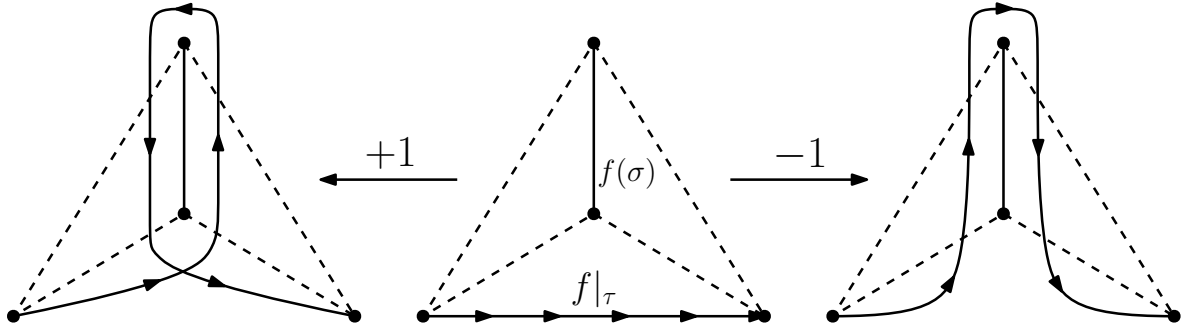


Рис. 4.3. «Пальцевые движения» ломаной $f|_\tau$ вокруг отрезка $f(\sigma)$: положительное (слева), отрицательное (справа)

- $|n_2|$ положительных/отрицательных «пальцевых движений» ломаной $f|_{13}$ вокруг отрезка $f(24)$, если n_2 положительно/отрицательно соответственно;
- $|n_3|$ положительных/отрицательных «пальцевых движений» ломаной $f|_{12}$ вокруг отрезка $f(34)$, если n_3 положительно/отрицательно соответственно; полученное отображение является искомым.

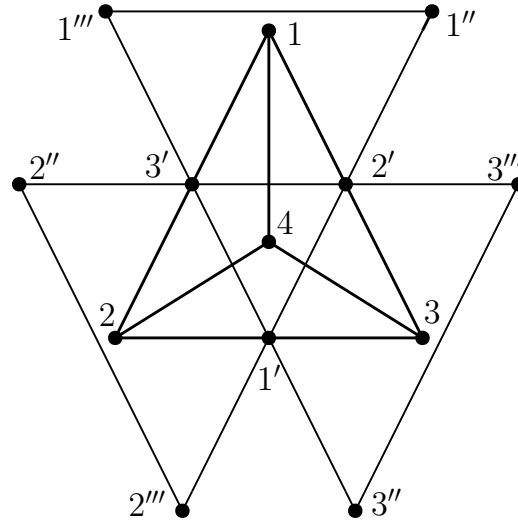


Рис. 4.4. К построению примера 4.4

Следующее построение тоже основано на аналоге пальцевых движений для почти вложений (см. рисунок 4.3; ср. рисунок 2.3), но явно их не использует (см. замечание 2.8).

Более явное построение примера 4.4 для $N = 1$. В дальнейших равенствах цифры слева от знака равенства являются вершинами графа K_4 , справа — точками плоскости, изображенными на рисунке 4.4. Положим $f(j) = j$ для каждого $j \in [4]$, $f|_{j4} = j4$ для каждого $j \in [3]$ и

$$f|_{12} = 1(3'3''3''')^{n_3}3'2, \quad f|_{23} = 2(1'1''1''')^{n_1}1'3, \quad f|_{13} = 1(2'2''2''')^{n_2}2'3.$$

Докажем, что отображение f является искомым. Имеем

$$\begin{aligned} w_f(1) &= w_f(234, 1) = w'(f|_{23}, f(1)) + w'(f|_{34}, f(1)) + w'(f|_{42}, f(1)) = \\ &= w'(2(1'1''1''')^{n_1}1'3, 1) + w'(34, 1) + w'(42, 1) = n_1 w(1'1''1''', 1) + w(21'34, 1) = n_1. \end{aligned}$$

Для остальных чисел оборотов доказательства аналогичны. (Похожие вычисления уже встречались в построениях примеров 2.7 и 3.5.) \square

5. ОБОРОТНЫЕ ЧИСЛА ПОЧТИ ВЛОЖЕНИЙ ГРАФОВ

Для почти вложений в плоскость тех графов, которые содержат подграф, изоморфный K_4 , также справедливы соотношения, получающиеся из теоремы 4.2. Например, в графе $K_5 - 45$ ровно два таких подграфа.

Для почти вложения $f : K_5 - 45 \rightarrow \mathbb{R}^2$ обозначим $W_f := W_g$, где g — сужение отображения f на K_4 -подграф, содержащий вершину 4.

Утверждение 5.1. *Для любого почти вложения $f : K_5 - 45 \rightarrow \mathbb{R}^2$ верно*

$$W_f = w_f(123, 4) - w_f(123, 5).$$

Доказательство. Утверждение следует из следующей цепочки равенств

$$w_f(123, 5) \stackrel{(1)}{=} w_f(234, 5) - w_f(134, 5) + w_f(124, 5) \stackrel{(2)}{=} w_f(234, 1) - w_f(134, 2) + w_f(124, 3),$$

где равенство (1) верно по утверждению 2.6. В следующем абзаце докажем равенство (2).

Поскольку f — почти вложение, то $f(51)$ не пересекает $f(234)$. Следовательно, $w_f(234, 5) = w_f(234, 1)$ ввиду утверждения 2.5. Аналогично, $w_f(134, 5) = w_f(134, 2)$ и $w_f(124, 5) = w_f(124, 3)$. \square

Замечание 5.2. Рассмотрим произвольное почти вложение $f : K_5 - 45 \rightarrow \mathbb{R}^2$.

Соотношение из утверждения 5.1 можно переписать в следующем виде

$$w_f(123, 5) = w_f(234, 1) - w_f(134, 2) + w_f(124, 3).$$

Аналогично

$$w_f(123, 4) = w_f(235, 1) - w_f(135, 2) + w_f(125, 3).$$

Это следует из утверждения 5.1 для почти вложения $f \circ \sigma$, где σ — автоморфизм графа $K_5 - 45$, переставляющий вершины 4 и 5 местами.

Теорема 5.3 (ср. теоремы 4.2 и 4.3). *Для любого почти вложения $f : K_5 - 45 \rightarrow \mathbb{R}^2$ разность $w_f(123, 4) - w_f(123, 5)$*

- (a) *нечетна;*
- (b) *равна ± 1 .*

Теорема 5.3.a следует из утверждения 5.1 и теоремы 4.2. Прямое доказательство теоремы 5.3.a приведено в §5.A. Теорема 5.3.b доказана в [Ga23].

Аналог теоремы 5.3.b для вложений вместо почти вложений выглядит более просто (он близок к теореме Жордана).

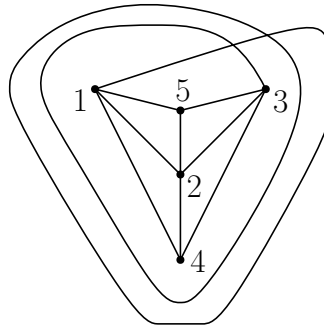


Рис. 5.1. Почти вложение $f : K_5 - 45 \rightarrow \mathbb{R}^2$, такое что $w_f(123, 5) = 3$

Пример 5.4. (a) *Аналог теоремы 5.3.a для слабых почти вложений вместо почти вложений неверен. Контрпримером является отображение, переводящее вершины графа в вершины правильного пятиугольника, а его ребра — в отрезки. Для этого примера $w_f(123, 4) - w_f(123, 5) = 0$.*

(b) Для любого целого n существует почти вложение $f : K_5 - 45 \rightarrow \mathbb{R}^2$, такое что $w_f(123, 5) = n$. (Для $n = 2$ см. рисунок 1.3 с той же нумерацией, что на рисунке 5.1. Для $n = 3$ см. рисунок 5.1.)

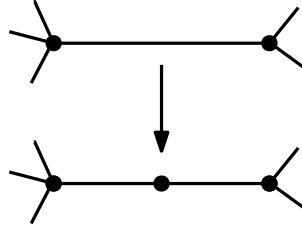


Рис. 5.2. Подразделение ребра

Граф $K_{3,3} - 33'$ изоморфен графу, полученному из графа K_4 подразделением двух несмежных ребер (см. рисунок 5.2 и ср. рисунки 4.2 и 5.3). Отождествим вершины 1, 2, 3, 4 графа, полученного подразделением двух ребер 13 и 24 графа K_4 , с вершинами 1, 1', 2, 2' графа $K_{3,3} - 33'$. Назовем отображение $f : K_{3,3} - 33' \rightarrow \mathbb{R}^2$ подразделением отображения $g : K_4 \rightarrow \mathbb{R}^2$, если для $g|_{24} = A_1 \dots A_n$ и $g|_{13} = B_1 \dots B_m$ выполнено

$$f(3) \in A_i A_{i+1} \text{ и } f(3') \in B_j B_{j+1} \text{ для некоторых } i \in [n-1] \text{ и } j \in [m-1];$$

$f|_{1'3} = A_1 \dots A_i f(3)$, $f|_{32'} = f(3) A_{i+1} \dots A_n$, $f|_{13'} = B_1 \dots B_j f(3')$, $f|_{3'2} = f(3') B_{j+1} \dots B_m$ и f совпадает с g на остальных вершинах и ребрах.

Нетрудно проверить, что если почти вложение $f : K_{3,3} - 33' \rightarrow \mathbb{R}^2$ является подразделением отображения $g : K_4 \rightarrow \mathbb{R}^2$, то g — почти вложение.

Утверждение 5.5 (ср. утверждение 5.1). Для почти вложения $f : K_{3,3} - 33' \rightarrow \mathbb{R}^2$ возьмем почти вложение $g : K_4 \rightarrow \mathbb{R}^2$, подразделением которого f является. Тогда $w_f(11'22', 3) - w_f(11'22', 3') = W_g$.

Доказательство (аналогично доказательству утверждения 5.1). Напомним про отождествление вершин. Поэтому

$$W_g = -w_g(1'22', 1) + w_g(122', 1') - w_g(11'2', 2) + w_g(11'2, 2').$$

Достаточно доказать, что

$$w_f(11'22', 3) = w_g(122', 1') + w_g(11'2, 2') \quad \text{и} \quad w_f(11'22', 3') = w_g(1'22', 1) + w_g(11'2', 2).$$

Докажем первое из этих равенств, второе доказывается аналогично. Имеем

$$\begin{aligned} w_f(11'22', 3) &\stackrel{(1)}{=} w_f(11'23', 3) + w_f(13'22', 3) \stackrel{(2)}{=} w(g|_{11'2}, f(3)) + w(g|_{122'}, f(3)) \stackrel{(3)}{=} \\ &\stackrel{(3)}{=} w_g(11'2, 2') + w_g(122', 1'), \text{ где} \end{aligned}$$

- равенство (1) верно по утверждению 2.6;
- равенство (2) — поскольку $f|_{11'23'} = g|_{11'2}$ и $f|_{13'22'} = g|_{122'}$.

Докажем равенство (3). Поскольку f — почти вложение, то $f(32')$ не пересекает $g(11'2)$. Следовательно, $w(g|_{11'2}, f(3)) = w_g(11'2, 2')$ ввиду утверждения 2.5.

Аналогично, $w(g|_{122'}, f(3)) = w_g(122', 1')$. □

Теорема 5.6 (ср. теоремы 4.2 и 5.3.a). Для любого почти вложения $f : K_{3,3} - 33' \rightarrow \mathbb{R}^2$ разность $w_f(11'22', 3) - w_f(11'22', 3')$ нечетна.

Теорема 5.6 следует из утверждения 5.5 и теоремы 4.2. Прямое доказательство теоремы 5.6 аналогично доказательству теоремы 5.3.a из §5.A.

Аналог теоремы 5.6 для вложений вместо почти вложений заключается в том, что $w_f(11'22', 3) - w_f(11'22', 3') = \pm 1$. Это утверждение верно и близко к теореме Жордана.

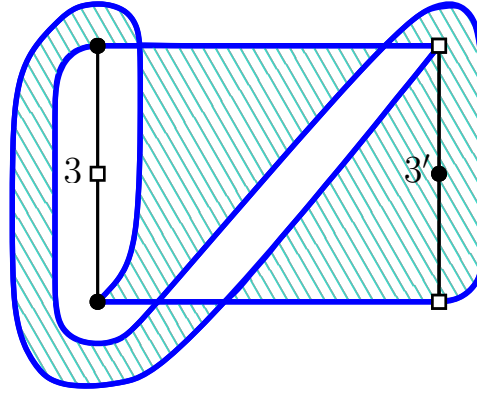


Рис. 5.3. Почти вложение $f : K_{3,3} - 33' \rightarrow \mathbb{R}^2$, такое что $w_f(11'22', 3) - w_f(11'22', 3') = \pm 3 \neq \pm 1$; внутренность по модулю 2 ломаной $f|_{11'22'}$ заштрихована

Пример 5.7 (ср. теоремы 4.3 и 5.3.b). Для любых целых чисел n_1, n_2 разной четности существует почти вложение $f : K_{3,3} - 33' \rightarrow \mathbb{R}^2$, такое что $w_f(11'22', 3) = n_1$ и $w_f(11'22', 3') = n_2$.

Построение примера 5.7 основано на утверждении 5.5 и идеях доказательства теоремы 4.3, и приведено в §5.B.

Замечание 5.8. Аналоги теорем 4.2, 5.3.a, 5.6 верны для \mathbb{Z}_2 -вложений (см. замечание 1.4). Гипотеза: аналог теоремы 5.3.b верен для \mathbb{Z} -вложений, но неверен для \mathbb{Z}_2 -вложений.

5.A. ДОКАЗАТЕЛЬСТВА ТЕОРЕМ 4.2 И 5.3.A

Несколько точек находятся в *общем положении*, если никакие три из них не лежат на прямой и никакие три отрезка, их соединяющие, не имеют общей внутренней точки.

Утверждение 5.9. Возьмем замкнутую и незамкнутую ломаные l и p , чьи вершины попарно различны и находятся в общем положении. Обозначим через P_0 и P_1 начальную и конечную точки ломаной p . Тогда $w(l, P_1) - w(l, P_0) \equiv |l \cap p| \pmod{2}$.

Это классическое утверждение является дискретной версией *теоремы Стокса*. Его доказательство см. в [ABM+, Утверждение 2.2.a].

Пусть v_1, \dots, v_n — вершины графа K , а e_1, \dots, e_m — его ребра. Отображение $f : K \rightarrow \mathbb{R}^2$ называется отображением *общего положения*, если точки упорядоченного набора $(f(v_1), \dots, f(v_n), A_1^e, \dots, A_m^e)$ находятся в общем положении, где A_1^e, \dots, A_m^e — все неконцевые вершины сужения $f|_e$ на ребро e .

Пусть $f : K \rightarrow \mathbb{R}^2$ — отображение общего положения. Тогда образы любых двух несмежных ребер пересекаются в конечном числе точек. Обозначим через $V(f)$ количество точек пересечения образов несмежных ребер.

Сведение теоремы 5.3.a к теореме 5.10. Можно считать, что f является отображением общего положения. Иначе заменим его «малым шевелением» на почти вложение $g : K_5 - 45 \rightarrow \mathbb{R}^2$ общего положения, такое что $w_g(123, 4) = w_f(123, 4)$ и $w_g(123, 5) = w_f(123, 5)$.

Рассмотрим отображение $h : K_5 \rightarrow \mathbb{R}^2$ общего положения, такое что $h|_{K_5-45} = f$. Теорема 5.3.a вытекает из следующей цепочки равенств и сравнений по модулю 2:

$$w_f(123, 4) - w_f(123, 5) = w_h(123, 4) - w_h(123, 5) \stackrel{(1)}{\equiv} |h(45) \cap h(123)| \stackrel{(2)}{=} V(h) \stackrel{(3)}{\equiv} 1.$$

Здесь сравнение (1) верно ввиду утверждения 5.9, равенство (2) — поскольку f является почти вложением, а сравнение (3) является частным случаем следующей теоремы. \square

Теорема 5.10 (Ханани–Татт; ван Кампен–Флорес). Пусть граф K — это K_5 или $K_{3,3}$. Для любого отображения $h : K \rightarrow \mathbb{R}^2$ общего положения число $V(h)$ нечетно.

См. доказательство в обзоре [Sk18, Lemma 1.4.3, Remark 1.4.4.a].

Теорема 5.3.b является целочисленной версией для почти вложений случая $K = K_5$ теоремы 5.10. Заметим, что теорема 5.10 не имеет целочисленной версии для отображений (это известно и объяснено в [Ga23, Remark 5.b]).

Внутренностью по модулю 2 замкнутой ломаной l , чьи вершины попарно различны и находятся в общем положении, называется множество всех точек $X \in \mathbb{R}^2 - l$, для которых найдется ломаная p ,

- соединяющая точку X с точкой, расположенной достаточно далеко от l (вне выпуклой оболочки вершин ломаной l),
- пересекающая l в нечетном числе точек, и
- такая что все вершины ломаных l и p попарно различны и (кроме X) находятся в общем положении.

Корректность этого определения следует из классической леммы о четности: если вершины двух замкнутых ломаных попарно различны и находятся в общем положении, то ломаные пересекаются в четном числе точек. (См. доказательство в [Sk18, лемма 1.3.3]; эта лемма также есть частный случай утверждения 5.9 для $P_0 = P_1$.)

Утверждение 5.11. Пусть вершины ломаной l попарно различны и находятся в общем положении. Точка O лежит во внутренней по модулю 2 замкнутой ломаной l тогда и только тогда, когда $w(l)$ нечетно.

Для отображения $f : K_4 \rightarrow \mathbb{R}^2$ общего положения обозначим через $I(f)$ количество тех вершин j , образы которых лежат во внутренней по модулю 2 замкнутой ломаной $f|_{C_j}$.

Теорема 5.12 (топологическая теорема Радона для плоскости). Для любого отображения $h : K_4 \rightarrow \mathbb{R}^2$ общего положения сумма $V(h) + I(h)$ нечетна.

Эту теорему в эквивалентном виде доказали Эрвин Г. Баймочи и Имре Барань в [BB79]. См. доказательство в обзоре [Sk18, Lemma 2.2.3].

Сведение теоремы 4.2 к теореме 5.12. Можно считать, что f является отображением общего положения. Иначе заменим его «малым шевелением» на почти вложение $g : K_4 \rightarrow \mathbb{R}^2$ общего положения, такое что $w_g(j) = w_f(j)$ для каждого $j \in [4]$.

Теперь ввиду утверждения 5.11 имеем $W_f \equiv I(f) \pmod{2}$. Так как f является почти вложением, то $V(f) = 0$. Тогда теорема 4.2 вытекает из теоремы 5.12. \square

5.В. ПОСТРОЕНИЕ ПРИМЕРА 5.7

Следующий пример 5.13 является частным случаем примера 5.7, но его построение проще и подводит к построению общего примера. Пример 5.13 первым построил А. Лазарев (не опубликовано).

Пример 5.13. Для любого нечетного n существует почти вложение $f : K_{3,3} - 33' \rightarrow \mathbb{R}^2$, такое что $w_f(11'22', 3) - w_f(11'22', 3') = n$. (См. рисунок 5.3 для $n = \pm 3$.)

Пример 5.13 является следствием утверждения 5.5 и следующего примера.

Пример 5.14. Для любого нечетного n существуют почти вложения $g : K_4 \rightarrow \mathbb{R}^2$ и $f : K_{3,3} - 33' \rightarrow \mathbb{R}^2$, такие что $W_g = n$ и f является подразделением отображения g .

Построение примера 5.14. Возьмем правильный треугольник ABC с центром O , вершины обозначены против часовой стрелки. Построим почти вложение $g : K_4 \rightarrow \mathbb{R}^2$ так (см. рисунок 5.4):

- g отображает вершины 1, 2, 3, 4 графа K_4 в точки A, B, C, O соответственно;

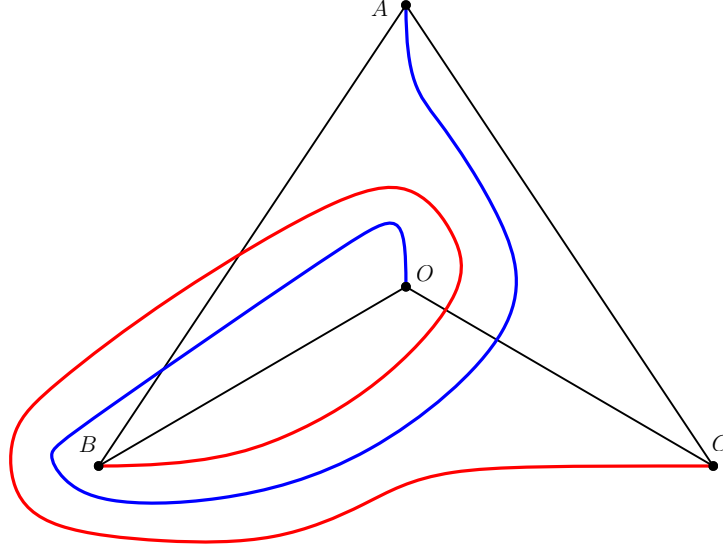


Рис. 5.4. К построению примера 5.14 (ср. рисунок 4.2)

- сужения $A \dots O$ и $B \dots C$ взяты из [AM25, Proof of Lemma 3] с параметрами $\varepsilon_2 < |BO|/2$ и $m = (1 - n)/2$;
- сужения на остальные ребра — отрезки.

В качестве f возьмем почти вложение, полученное из g подразделением отрезков BO и AC в серединах.⁷ В следующем абзаце проверим, что $W_g = n$.

По [AM25, Proof of Lemma 3] имеем

$$w_g(1) = w'(B \dots C, A) + w'(CO, A) + w'(OB, A) = \frac{1}{6} - \frac{1}{12} - \frac{1}{12} = 0;$$

$$w_g(2) = w'(AC, B) + w'(CO, B) + w'(O \dots A, B) = -\frac{1}{6} + \frac{1}{12} + \left(\frac{1}{12} - m\right) = \frac{n-1}{2};$$

$$w_g(3) = w'(AB, C) + w'(BO, C) + w'(O \dots A, C) = \frac{1}{6} - \frac{1}{12} - \frac{1}{12} = 0;$$

$$w_g(4) = w'(AB, O) + w'(B \dots C, O) + w'(CA, O) = \frac{1}{3} + \left(\frac{1}{3} - m\right) + \frac{1}{3} = 1 + \frac{n-1}{2}.$$

Откуда

$$W_g = -w_g(1) + w_g(2) - w_g(3) + w_g(4) = -0 + \frac{n-1}{2} - 0 + \left(1 + \frac{n-1}{2}\right) = n.$$

□

Построение примера 5.7. Возьмем почти вложение $h : K_{3,3} - 33' \rightarrow \mathbb{R}^2$ из построения примера 5.14 для $n = n_1 - n_2$. Тогда $w_h(11'22', 3) = n_1 - n_2$ и $w_h(11'22', 3') = 0$.

Модифицируем h , сделав n_2 положительных «пальцевых движений» отрезка AB вокруг ломаной $UOCV$, где $U := h(3)$ и $V := h(3')$ — середины отрезков BO и AC соответственно (см. рисунок 4.3). Получим новое почти вложение $f : K_{3,3} - 33' \rightarrow \mathbb{R}^2$, для которого $w_f(11'22', 3) = n_1$ и $w_f(11'22', 3') = n_2$. □

⁷Построение примера 5.13 можно завершить уже здесь без применения утверждения 5.5. Вместо следующей проверки можно аналогично проверить, что разность чисел оборотов замкнутой ломаной $g|_{1234}$ вокруг середин отрезков BO и AC равна n .

6. ПРОБЛЕМА ОПИСАНИЯ ЗНАЧЕНИЙ ОБОРОТНЫХ ЧИСЕЛ

Говоря нестрого, для почти вложения $f : K \rightarrow \mathbb{R}^2$ рассмотрим набор оборотных чисел $w_f(C, v)$ для всевозможных пар (C, v) , образованных вершиной v графа K и ориентированным простым циклом C в $K - v$. Как описать наборы, реализуемые почти вложениями $f : K \rightarrow \mathbb{R}^2$?

Строго говоря, рассмотрим множество H_K всевозможных пар (C, v) , образованных вершиной v графа K и простым циклом C в $K - v$. Для каждой пары $(C, v) \in H_K$ выберем ориентацию на цикле C и далее считаем циклы C ориентированными. (Если цикл C' получается из C обращением ориентации, то $w_f(C', v) = -w_f(C, v)$.) Почти вложение $f : K \rightarrow \mathbb{R}^2$ задает отображение $w_f : H_K \rightarrow \mathbb{Z}$ формулой $(C, v) \mapsto w_f(C, v)$.

Проблема 6.1. Для данного плоского графа K опишите отображения $H_K \rightarrow \mathbb{Z}$, равные w_f для некоторого почти вложения $f : K \rightarrow \mathbb{R}^2$.

Возможно, это описание не имеет красивой формулировки. Тогда интересен алгоритм, который по отображению $H_K \rightarrow \mathbb{Z}$ выясняет, равно ли оно w_f для некоторого почти вложения $f : K \rightarrow \mathbb{R}^2$.

Для аналогичной проблемы с заменой почти вложений на *вложения* имеется неявное описание и, скорее всего, не имеется явного (см. объяснение в замечании 10.4).

См. аналогичную проблему 9.5 с добавлением других инвариантов.

Решение проблемы 6.1 для $K = K_4$ дается теоремами 4.2 и 4.3. Если K — лес или цикл, то проблема тривиальна, поскольку для этих графов $H_K = \emptyset$. Если K — собственный подграф графа K_4 , то никаких ограничений на реализуемые отображения $H_K \rightarrow \mathbb{Z}$ нет, см. пример 4.1.а и следующий пример.

Пример 6.2. (а) Для любого целого n существует почти вложение $f : K_4 - 24 - 34 \rightarrow \mathbb{R}^2$, такое что $w_f(4) = n$.

(б) Для любых целых n, t существует почти вложение $f : K_4 - 34 \rightarrow \mathbb{R}^2$, такое что $w_f(3) = n$ и $w_f(4) = t$. (См. рисунок 6.1 для $n = 2$ и $t = 2$.)

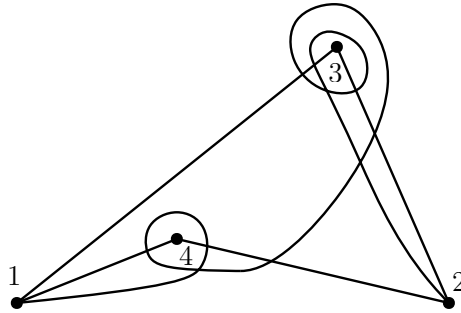


Рис. 6.1. Почти вложение $f : K_4 - 34 \rightarrow \mathbb{R}^2$, такое что $w_f(3) = 2$ и $w_f(4) = 2$

Проблема 6.1 открыта даже когда K есть $K_5 - 45$ (см. следующую гипотезу), граф куба, граф октаэдра.

Гипотеза 6.3. Для любых целых чисел n_{41}, n_{42}, n_{43} и n_{51}, n_{52}, n_{53} , таких что разность $(n_{41} - n_{42} + n_{43}) - (n_{51} - n_{52} + n_{53})$ равна ± 1 (ср. замечание 5.2, теорему 5.3.б), существует почти вложение $f : K_5 - 45 \rightarrow \mathbb{R}^2$, такое что

$$w_f(234, 1) = n_{41}, \quad w_f(134, 2) = n_{42}, \quad w_f(124, 3) = n_{43},$$

$$w_f(235, 1) = n_{51}, \quad w_f(135, 2) = n_{52}, \quad w_f(125, 3) = n_{53}.$$

7. ЦИКЛИЧЕСКОЕ И ТРИОДИЧЕСКОЕ ЧИСЛА: ОПРЕДЕЛЕНИЯ И ОБСУЖДЕНИЕ

Определим другие инварианты, и интересные сами по себе, и полезные (см. §8) для изучения оборотных чисел.

Назовем тройку ломаных l_1, l_2, l_3 , соединяющих A_1 с A_2 , A_2 с A_3 , A_3 с A_1 соответственно (и, таким образом, образующих замкнутую ломаную), **циклической**, если $A_i \notin l_{i+1}$ для каждого $i = 1, 2, 3$ (нумерация по модулю 3; другими словами, если ломаные образуют почти вложение графа K_3 в плоскость).

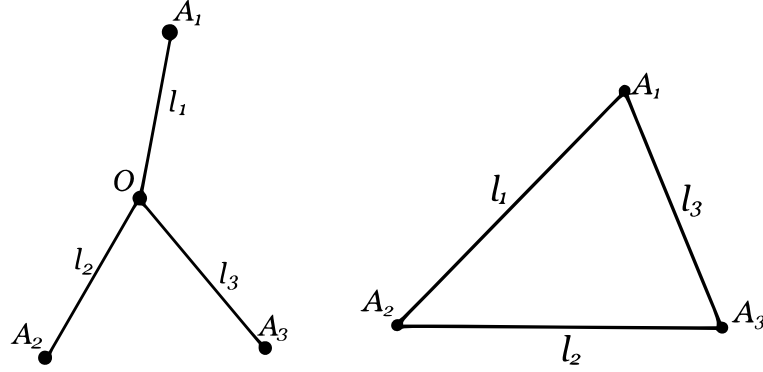


Рис. 7.1. Триод и треугольник

Циклическое число $cy(l_1, l_2, l_3)$ циклической тройки ломаных l_1, l_2, l_3 определяется как число оборотов вектора в результате следующих вращений:

- от вектора $\overrightarrow{A_1A_2}$ к вектору $\overrightarrow{A_1A_3}$, при котором начало вектора неподвижно, а конец движется по ломаной l_2 , затем
- от вектора $\overrightarrow{A_1A_3}$ к вектору $\overrightarrow{A_2A_3}$, при котором конец вектора неподвижен, а начало движется по l_1 , затем
- от вектора $\overrightarrow{A_2A_3}$ к вектору $\overrightarrow{A_2A_1}$, при котором начало вектора неподвижно, а конец движется по l_3 , затем
- от вектора $\overrightarrow{A_2A_1}$ к вектору $\overrightarrow{A_3A_1}$, затем
- от вектора $\overrightarrow{A_3A_1}$ к вектору $\overrightarrow{A_3A_2}$, затем
- от вектора $\overrightarrow{A_3A_2}$ к вектору $\overrightarrow{A_1A_2}$.

Это равно удвоенному (нецелому) числу оборотов в результате первых трех из вышеприведенных вращений. Строго говоря,

$$\begin{aligned} cy(l_1, l_2, l_3) &:= w'(l_2, A_1) + w'(l_1, A_3) + w'(l_3, A_2) + w'(l_2, A_1) + w'(l_1, A_3) + w'(l_3, A_2) = \\ &= 2(w'(l_2, A_1) + w'(l_1, A_3) + w'(l_3, A_2)). \quad (cy) \end{aligned}$$

Пример 7.1. (а) Циклическое число циклической тройки ломаных, образующих треугольник, равно ± 1 (рисунок 7.1, справа).

(б) Циклическое число циклической тройки ломаных, образующих замкнутую несамопересекающуюся ломаную, равно ± 1 (это утверждение близко к теореме Жордана).

Утверждение 7.2. Циклическое число любой циклической тройки ломаных нечетно.

Доказательство. Обозначим через l_1, l_2, l_3 ломаные, образующие циклическую тройку, и соединяющие A_1 с A_2 , A_2 с A_3 , A_3 с A_1 соответственно. Имеем

$$\begin{aligned} cy(l_1, l_2, l_3) &\stackrel{(1)}{=} 2 \left(\frac{\angle A_2A_1A_3}{2\pi} + k_1 + \frac{\angle A_3A_2A_1}{2\pi} + k_2 + \frac{\angle A_1A_3A_2}{2\pi} + k_3 \right) = \\ &= 2(k_1 + k_2 + k_3) + 2 \frac{\angle A_2A_1A_3 + \angle A_3A_2A_1 + \angle A_1A_3A_2}{2\pi} = 2(k_1 + k_2 + k_3) + 1 \end{aligned}$$

для некоторых целых k_1, k_2, k_3 . Здесь равенство (1) следует из определения (cy) и из утверждения 2.4. \square

Пример 7.3. Для любого n существует циклическая тройка ломаных, циклическое число которой равно $2n + 1$. (См. рисунок 7.2, справа, для $n = 2$.)

Построение. Рассмотрим правильный треугольник $A_1A_2A_3$, вершины которого пронумерованы против часовой стрелки. Обозначим через l'_2, l_3, l_1 ломаные A_2A_3, A_3A_1, A_1A_2 соответственно. Обозначим через l_2 ломаную, полученную в результате $|n|$ положительных/отрицательных пальцевых движений (рисунок 2.3) ломаной l'_2 вокруг вершины A_1 для положительного/отрицательного n соответственно. Тогда

$$\text{cy}(l_1, l_2, l_3) = 2 \left(\frac{\angle A_2A_1A_3}{2\pi} + n + \frac{\angle A_3A_2A_1}{2\pi} + \frac{\angle A_1A_3A_2}{2\pi} \right) = 2n + 1.$$

□

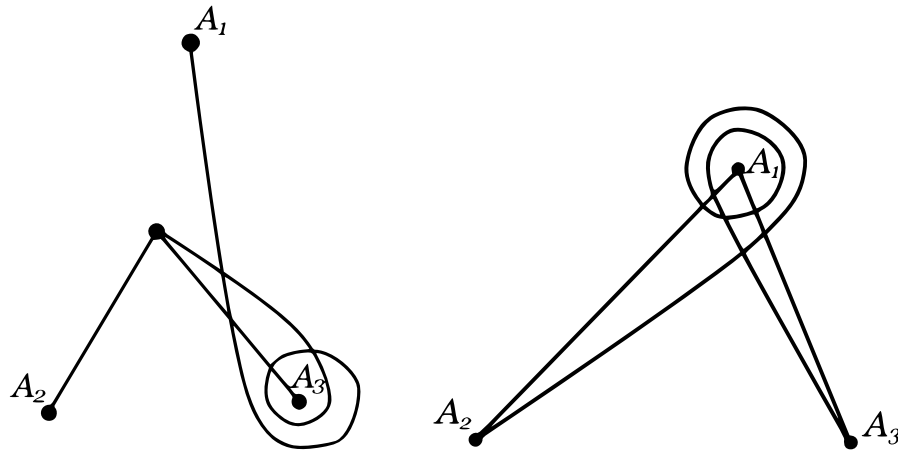


Рис. 7.2. Тройка ломаных, триодическое/циклическое (слева/справа) число которой равно 5

Назовем тройку ломаных l_1, l_2, l_3 , соединяющих точку O с точками A_1, A_2, A_3 соответственно, **триодической**, если $A_i \notin l_j$ для всех $i \neq j$. (Другими словами, если ломаные образуют почти вложение графа $K_{3,1}$ в плоскость.)

Триодическое число $\text{tr}(l_1, l_2, l_3)$ триодической тройки ломаных l_1, l_2, l_3 определяется как число оборотов вектора в результате следующих вращений:

- от вектора $\overrightarrow{A_1A_2}$ к вектору $\overrightarrow{A_1A_3}$, при котором начало вектора неподвижно, а конец движется по ломаной $l_2^{-1}l_3$, затем
- от вектора $\overrightarrow{A_1A_3}$ к вектору $\overrightarrow{A_2A_3}$, при котором конец вектора неподвижен, а начало движется по $l_1^{-1}l_2$, затем
- от вектора $\overrightarrow{A_2A_3}$ к вектору $\overrightarrow{A_2A_1}$, при котором начало вектора неподвижно, а конец движется по $l_3^{-1}l_1$, затем
- от вектора $\overrightarrow{A_2A_1}$ к вектору $\overrightarrow{A_3A_1}$ по $l_2^{-1}l_3$, затем
- от вектора $\overrightarrow{A_3A_1}$ к вектору $\overrightarrow{A_3A_2}$ по $l_1^{-1}l_2$, затем
- от вектора $\overrightarrow{A_3A_2}$ к вектору $\overrightarrow{A_1A_2}$ по $l_3^{-1}l_1$.

Это равно удвоенному (нецелому) числу оборотов в результате первых трех из вышеприведенных вращений. Строго говоря, $\text{tr}(l_1, l_2, l_3)$ определяется следующей формулой, аналогичной (cy):

$$\text{tr}(l_1, l_2, l_3) := w'(l_2^{-1}l_3, A_1) + w'(l_1^{-1}l_2, A_3) + w'(l_3^{-1}l_1, A_2) + w'(l_2^{-1}l_3, A_1) + w'(l_1^{-1}l_2, A_3) + w'(l_3^{-1}l_1, A_2) = 2(w'(l_2^{-1}l_3, A_1) + w'(l_1^{-1}l_2, A_3) + w'(l_3^{-1}l_1, A_2)). \quad (\text{tr})$$

Пример 7.4 (ср. пример 7.1). (а) Триодическое число трех отрезков, соединяющих вершины правильного треугольника с его центром, равно ± 1 (рисунок 7.1, слева).

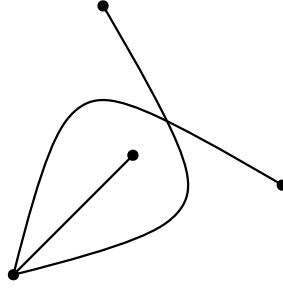


Рис. 7.3. Тройка ломаных с триодическим числом ± 3

(b) Триодическое число тройки ломаных на рисунке 7.3 равно ± 3 .

(c) Для любого вложения $f : K_{3,1} \rightarrow \mathbb{R}^2$ триодическое число равно ± 1 . Это доказывается индукцией по количеству вершин в ломаных из определения вложения графа в плоскость.

(d) Перестановка ломаных триодической тройки ломаных умножает их триодическое число на знак перестановки.

Утверждение 7.5 (ср. утверждение 7.2). *Триодическое число любой триодической тройки ломаных нечетно.*

Доказательство. Обозначим через l_1, l_2, l_3 ломаные, образующие триодическую тройку, и соединяющие точку O с точками A_1, A_2, A_3 соответственно. Имеем

$$\begin{aligned} \text{tr}(l_1, l_2, l_3) &\stackrel{(1)}{=} 2 \left(\frac{\angle A_2 A_1 A_3}{2\pi} + k_1 + \frac{\angle A_3 A_2 A_1}{2\pi} + k_2 + \frac{\angle A_1 A_3 A_2}{2\pi} + k_3 \right) = \\ &= 2(k_1 + k_2 + k_3) + 2 \left(\frac{\angle A_2 A_1 A_3 + \angle A_3 A_2 A_1 + \angle A_1 A_3 A_2}{2\pi} \right) = 2(k_1 + k_2 + k_3) + 1 \end{aligned}$$

для некоторых целых k_1, k_2, k_3 . Здесь равенство (1) следует из определения (tr) и утверждения 2.4. \square

Пример 7.6 (ср. пример 7.3). *Для любого целого n существует триодическая тройка ломаных, триодическое число которой равно $2n + 1$. (См. рисунок 7.2, слева, для $n = 2$.)*

Построение. Возьмем правильный треугольник $A_1 A_2 A_3$, вершины которого пронумерованы против часовой стрелки. Обозначим через l'_1, l_2, l_3 отрезки, соединяющие вершины A_1, A_2, A_3 треугольника с его центром O соответственно. Обозначим через l_1 ломаную, полученную в результате $|n|$ положительных/отрицательных пальцевых движений (рисунок 2.3) ломаной l'_1 вокруг вершины A_3 для положительного/отрицательного n соответственно. Тогда

$$\text{tr}(l_1, l_2, l_3) = 2 \left(\frac{\angle A_2 A_1 A_3}{2\pi} + \frac{\angle A_3 A_2 A_1}{2\pi} + \frac{\angle A_1 A_3 A_2}{2\pi} + n \right) = 1 + 2n.$$

\square

Замечание 7.7. (a) *Степенью замкнутой гладкой кривой называется число оборотов касательного вектора при обходе кривой. Степенью замкнутой ломаной $A_1 \dots A_m$ называется число*

$$\frac{(\pi - \angle A_1 A_2 A_3) + (\pi - \angle A_2 A_3 A_4) + \dots + (\pi - \angle A_{m-1} A_m A_1) + (\pi - \angle A_m A_1 A_2)}{2\pi}.$$

Циклическое число схоже со степенью замкнутой ломаной, но отличается от нее.

(b) Триодическое число можно выразить через циклическое так: если l_1, l_2, l_3 — триодическая тройка ломаных, то $l_1^{-1} l_2, l_2^{-1} l_3, l_3^{-1} l_1$ — циклическая тройка ломаных и

$$\text{tr}(l_1, l_2, l_3) = \text{cy}(l_1^{-1} l_2, l_2^{-1} l_3, l_3^{-1} l_1).$$

(с) Выберем произвольную точку O . Обозначим через $l+B$ и $l-B$ ломаные, полученные из ломаной l параллельным переносом на векторы \overrightarrow{OB} и \overrightarrow{BO} соответственно. Обозначим через $-l$ ломаную, полученную из ломаной l центральной симметрией относительно точки O .

Тогда циклическое число циклической тройки ломаных $l_1 = A_1 \dots A_2$, $l_2 = A_2 \dots A_3$, $l_3 = A_3 \dots A_1$ равно числу оборотов вокруг точки O замкнутой ломаной l , полученной конкатенацией ломаных $l_2 - A_1$, $-l_1 + A_3$, $l_3 - A_2$, $-l_2 + A_1$, $l_1 - A_3$, $-l_3 + A_2$.

Теорема 2.3 Борсука–Улама, примененная к замкнутой ломаной l , дает альтернативное доказательство утверждения 7.2 (нечетности циклического числа). Аналогично доказывается утверждение 7.5 (нечетность триодического числа).

(d) Возьмем циклическую тройку ломаных l_1, l_2, l_3 . Представим ломаную l_i в качестве PL отображения $p_i : [0, 1] \rightarrow \mathbb{R}^2$ для каждого $i = 1, 2, 3$. Тогда циклическое число для тройки l_1, l_2, l_3 равно числу оборотов вектора $p_1(x) + p_2(y) + p_3(z) - p_1(0) - p_2(0) - p_3(0)$ при обходе по следующему циклу, идущему по ребрам куба $[0, 1]^3$:

$$(0, 0, 1) \rightarrow (0, 1, 1) \rightarrow (0, 1, 0) \rightarrow (1, 1, 0) \rightarrow (1, 0, 0) \rightarrow (1, 0, 1) \rightarrow (0, 0, 1).$$

(e) Возьмем любые два непрерывных отображения $f, g : S^1 \rightarrow \mathbb{R}^2$, такие что $f(s) \neq g(s)$ для каждой точки s окружности S^1 . Обозначим через $w(f - g)$ число оборотов, которое совершает ненулевой вектор $f(s) - g(s)$ при обходе окружности против часовой стрелки. Тогда для любой

- точки и замкнутой ломаной, не проходящей через нее,
- циклической тройки ломаных,
- триодической тройки ломаных

найдутся такие f и g , что число $w(f - g)$ равно числу оборотов, циклическому и триодическому числу соответственно. (Аналогичное утверждение верно и для числа $\partial(l \times p)$, определенного перед леммой 8.5.)

8. СВЯЗЬ ИНВАРИАНТОВ ДРУГ С ДРУГОМ

Для слабого почти вложения $f : K \rightarrow \mathbb{R}^2$ и $K_{3,1}$ -подграфа в K с долями i, j, k и v обозначим

$$\text{tr}_f(ijk, v) := \text{tr}(f|_{vi}, f|_{vj}, f|_{vk}).$$

Для слабого почти вложения $f : K \rightarrow \mathbb{R}^2$ и простого цикла ijk в K обозначим

$$\text{cy}_f(ijk) := \text{cy}(f|_{ij}, f|_{jk}, f|_{ki}).$$

Для $K = K_4$ обозначим

$$\text{tr}_f(v) := \text{tr}_f(C_v, v) \quad \text{и} \quad \text{cy}_f(v) := \text{cy}(C_v).$$

Утверждение 8.1. Для любого слабого почти вложения $f : K_4 \rightarrow \mathbb{R}^2$ имеем

$$2W_f = \text{cy}_f(1) - \text{cy}_f(2) + \text{cy}_f(3) - \text{cy}_f(4).$$

Утверждение 8.2. Для любого почти вложения $f : K_4 \rightarrow \mathbb{R}^2$ имеем

- (a) $W_f = \text{tr}_f(4) = -\text{tr}_f(3) = \text{tr}_f(2) = -\text{tr}_f(1)$;
- (b) $2w_f(j) = \text{cy}_f(j) + (-1)^j \text{tr}_f(j)$ для каждого $j = 1, 2, 3, 4$.

Доказательства утверждений 8.1 и 8.2 приведены в §8.A.

Нечетность числа W_f для почти вложения $f : K_4 \rightarrow \mathbb{R}^2$ (теорема 4.2) вытекает из утверждения 8.2.a и нечетности триодического числа (утверждение 7.5). (Это доказательство нечетности числа W_f дает альтернативное доказательство топологической теоремы Радона 5.12 для плоскости с заменой отображения на почти вложение.)

Утверждение 8.2 позволяет выразить все триодические и циклические числа через оборотные, а вместе с утверждением 8.1 — все триодические и оборотные через циклические.

Замечание 8.3 (соотношения между циклическими числами почти вложения графа K_4). Из теоремы 4.2 и утверждения 8.1 следует, что для любого почти вложения $f : K_4 \rightarrow \mathbb{R}^2$ верно

$$\text{cy}_f(1) - \text{cy}_f(2) + \text{cy}_f(3) - \text{cy}_f(4) \equiv 2 \pmod{4}.$$

Ввиду теоремы 4.3 и утверждения 8.2, между этими четырьмя циклическими числами нет других соотношений. Более точно, для любых нечетных чисел m_1, m_2, m_3, m_4 , для которых $m_1 - m_2 + m_3 - m_4 \equiv 2 \pmod{4}$, существует почти вложение $f : K_4 \rightarrow \mathbb{R}^2$, такое что $\text{cy}_f(j) = m_j$ для каждого $j = 1, 2, 3, 4$.

Доказательство. Обозначим $W := (m_1 - m_2 + m_3 - m_4)/2$. По теореме 4.3 существует почти вложение $f : K_4 \rightarrow \mathbb{R}^2$, такое что $2w_f(j) = m_j + (-1)^j W$. Оно и является искомым. Действительно, для каждого $j = 1, 2, 3, 4$ имеем

$$\text{cy}_f(j) \stackrel{(1)}{=} 2w_f(j) + (-1)^{j-1} \text{tr}_f(j) = m_j + (-1)^j W + (-1)^{j-1} \text{tr}_f(j) \stackrel{(2)}{=} m_j + (-1)^j (W - W_f) \stackrel{(3)}{=} m_j.$$

Здесь равенство (1) верно по утверждению 8.2.b, (2) — по утверждению 8.2.a, (3) — поскольку $W_f = W$ как следствие определений чисел W_f и W .

Замечание 8.4 (соотношения между инвариантами почти вложения графа $K_5 - 45$). (а) Для отображения $f : K_5 - 45 \rightarrow \mathbb{R}^2$ обозначим через f_j сужение отображения f на K_4 -подграф, содержащий вершину $j = 4, 5$. Напомним, что для почти вложения $f : K_5 - 45 \rightarrow \mathbb{R}^2$ мы обозначаем $W_f := W_{f_4}$. Из утверждения 5.1 следует (см. замечание 5.2), что для любого почти вложения $f : K_5 - 45 \rightarrow \mathbb{R}^2$ верно

$$W_f := W_{f_4} = -W_{f_5}.$$

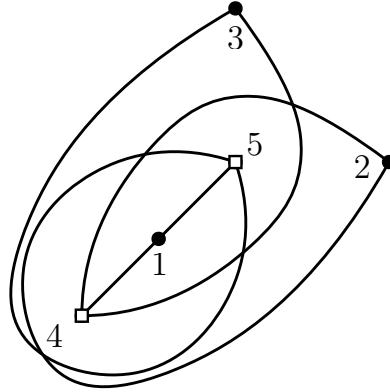


Рис. 8.1. Почти вложение $f : K_{3,2} \rightarrow \mathbb{R}^2$, для которого $\text{tr}_f(123, 4) = \text{tr}_f(123, 5) \neq -\text{tr}_f(123, 5)$

(b) Из пункта (а) и утверждения 8.2.a следует, что для любого почти вложения $f : K_5 - 45 \rightarrow \mathbb{R}^2$ верно

$$W_f = \text{tr}_f(123, 4) = -\text{tr}_f(123, 5).$$

Ср. рисунок 8.1.

(c) Из пункта (b) и утверждения 8.2.b следует, что для любого почти вложения $f : K_5 - 45 \rightarrow \mathbb{R}^2$ верно

$$\text{cy}_f(123) = w_f(123, 4) + w_f(123, 5).$$

8.A. ДОКАЗАТЕЛЬСТВА УТВЕРЖДЕНИЙ 8.1 И 8.2

Для слабого почти вложения $f : K \rightarrow \mathbb{R}^2$, ориентированного цикла C , ориентированного ребра ij и вершины v , не лежащей ни на ребре ij , ни на цикле C , обозначим

$$C \times_f v := w_f(C, v) \quad \text{и} \quad ij \times_f v := w'(f|_{ij}, f(v)).$$

Смысл новых обозначений объяснен в замечании 8.6 и §9.

Доказательство утверждения 8.1 просто получается из определения числа W_f , а также следующих равенств:

- $ij \times_f v + ji \times_f v = 0$ для любых ориентированного ребра ij и вершины $v \notin ij$;
- $ijk \times_f v = ij \times_f v + jk \times_f v + ki \times_f v$, если $\{i, j, k, v\} = [4]$;
- $\text{cy}_f(v) = 2(ij \times_f k + ki \times_f j + jk \times_f i)$, если $\{i, j, k, v\} = [4]$.

Первое равенство очевидно. Второе и третье — переписанные определения. Эти равенства и аналог третьего из них для триодического числа также будут использоваться (без их упоминания) в доказательстве утверждения 8.2.

Следующее обозначение и лемма пригодятся в доказательстве утверждения 8.2. Для ломаных $A \dots B$ и $C \dots D$ обозначим

$$\partial(A \dots B \times C \dots D) := w'(A \dots B, D) + w'(C \dots D, A) - w'(C \dots D, B) - w'(A \dots B, C).$$

Это число определено, когда ни один из концов каждой ломаной не лежит на объединении звеньев другой ломаной. (Представим ломаные $A \dots B$ и $C \dots D$ в качестве *PL отображений* $p, q : [0, 1] \rightarrow \mathbb{R}^2$. Тогда $\partial(A \dots B \times C \dots D)$ есть число оборотов вектора $p(x) - q(y)$ при обходе границы $\partial([0, 1]^2)$ квадрата $[0, 1]^2$ по часовой стрелке.)

Лемма 8.5. Для любых непересекающихся ломаных l и p выполнено $\partial(l \times p) = 0$.

Доказательство этой классической леммы см. в [ABM+, Лемма 2.5.a].

$\partial(12 \times 34)$	$\partial(23 \times 14)$	$\partial(31 \times 24)$	
$+2(21 \times 3)$	$+2(32 \times 1)$	$+2(13 \times 2)$	
$+2(12 \times 4)$	$+2(23 \times 4)$	$+2(31 \times 4)$	
43×1	32×1	24×1	$-(234 \times 1)$
34×2	41×2	13×2	134×2
21×3	14×3	42×3	$-(124 \times 3)$
12×4	23×4	31×4	123×4
$\partial(12 \times 43)$	$\partial(23 \times 41)$	$\partial(31 \times 42)$	
$+2(43 \times 1)$	$+2(41 \times 2)$	$+2(24 \times 1)$	
$+2(34 \times 2)$	$+2(14 \times 3)$	$+2(42 \times 3)$	

Рис. 8.2. Различные группировки слагаемых в сумме W_f

Доказательство утверждения 8.2. Для $\{i, j, p, q\} = [4]$ обозначим

$$\partial_f(ij \times pq) := ij \times_f p + pq \times_f j + ji \times_f q + qp \times_f i.$$

Поскольку f является почти вложением, то по лемме 8.5 имеем $\partial_f(ij \times pq) = 0$, если $\{i, j, p, q\} = [4]$.

Первое равенство пункта (а) доказывается так:

$$\begin{aligned} W_f &\stackrel{(1)}{=} \\ &= 2(24 \times_f 1 + 43 \times_f 1 + 14 \times_f 3 + 42 \times_f 3 + 34 \times_f 2 + 41 \times_f 2) + \\ &\quad + \partial_f(12 \times 43) + \partial_f(23 \times 41) + \partial_f(31 \times 42) = \\ &= \text{tr}_f(4). \end{aligned}$$

Для доказательства равенства (1) посмотрим на рисунок 8.2 (на котором индексы f удалены). Вне прямоугольника написана сумма в соответствующей строке или в соответствующем столбце чисел в прямоугольнике. Сумма всех чисел в прямоугольнике равна сумме чисел справа от него и равна W_f . Она также равна сумме чисел снизу от него, т. е. правой части равенства (1).

Аналогично доказывается, что W_f равно другим триодическим числам из пункта (а) (берем некоторые числа сверху, а некоторые снизу от прямоугольника). Это следует также из кососимметричности (утверждения 3.4 и 7.4.d).

Аналогично доказывается равенство $W_f = 2w_f(j) - su_f(j)$ (например, для $j = 4$ берем числа только сверху от прямоугольника). Из него следует пункт (b). Иными словами и напрямую, для $j = 4$ имеем

$$su_f(4) + tr_f(4) - 2w_f(4) \stackrel{(2)}{=} 2(\partial_f(12 \times 34) - \partial_f(13 \times 24) - \partial_f(14 \times 23)) = 0.$$

(Как можно придумать равенства (1) и (2), написано в замечании 8.6 и §9.) □

Замечание 8.6. (а) При обосновании равенств (1) и (2) из доказательства утверждения 8.2 (а также других равенств, иллюстрируемых рисунком 8.2) не обязательно помнить ни о сумме углов, через которую определяются обратное, циклическое и триодическое числа, ни об отображении f . Упростим эти равенства, убрав индексы f . Это упрощение — проявление того, что за этими равенствами стоят соотношения между *целочисленными одномерными циклами во взрезанном квадрате* графа K_4 , см. §9. Эти соотношения можно применять не только к доказательству утверждений типа 8.2, но и к их придумыванию (ибо вместо формул можно смотреть на картинки, см. п. (b)). Эти соотношения можно применять и к другим задачам, см. ссылки в [MNS, Предисловие].

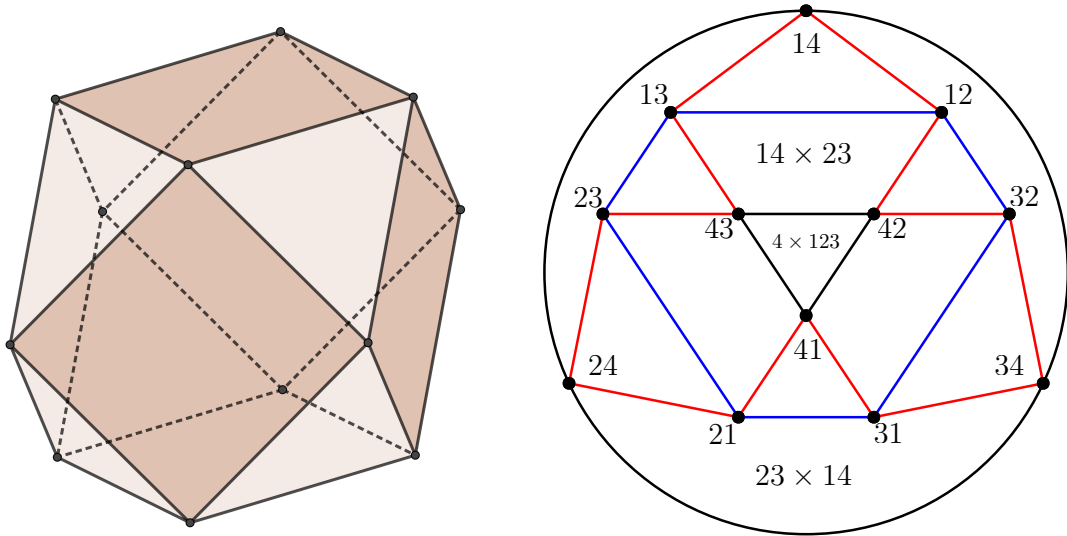


Рис. 8.3. Слева: кубооктаэдр — взрезанный квадрат графа K_4 (точнее, *симплициальный взрезанный квадрат*, см. определение в [Sk, §8.2] или [Sk06, §4, The van Kampen obstruction mod 2], графа K_4). Справа: взрезанный бокс-квадрат графа K_4 (вершины $i \times j$ сокращаются до ij).

(b) (здесь мы неформально объясняем, как придумать и геометрически интерпретировать утверждение 8.2; см. формализацию в §9) На правом рисунке 8.3 (ср. [MNS, §1.9])

- 4×123 — ориентированный контур центрального треугольника,
- 123×4 — ориентированная окружность,
- $\partial(14 \times 23)$ — ориентированная граница центральной верхней трапецевидной грани 14×23 ,
- $\partial(23 \times 14)$ — ориентированная граница центральной нижней криволинейной грани 23×14 ,
- ориентированные циклы $adiag(123)$ и $triod(123, 4)$ выделены синим и красным соответственно.

Каждый из циклов $\text{adiag}(123)$ и $\text{trioid}(123, 4)$ разбивает кубооктаэдр на две равные части. Магическая формула для равенства (1) из доказательства утверждения 8.2:

$$\text{trioid}(123, 4) + \partial(12 \times 43) + \partial(23 \times 41) + \partial(31 \times 42) = -234 \times 1 + 134 \times 2 - 124 \times 3 + 123 \times 4.$$

Магическая формула для равенства (2):

$$\begin{aligned} & \text{adiag}(123) + \text{trioid}(123, 4) = \\ & 123 \times 4 + 4 \times 123 + \partial(31 \times 24) + \partial(24 \times 13) + \partial(12 \times 34) + \partial(34 \times 21) + \partial(14 \times 32) + \partial(23 \times 14). \end{aligned}$$

9. БОЛЕЕ ОБЩИЕ ИНВАРИАНТЫ: ЧИСЛА ВУ

Замечание 9.1. (а) Аналог циклического числа можно определить для замкнутой ломаной, составленной из нескольких ломаных l_1, l_2, \dots, l_n , образующих слабое почти вложение графа-цикла. Например, для $n = 4$ можно взять

$$\text{cy}(l_1, l_2, l_3, l_4) := w'(l_2 l_3, A_1) + w'(l_3 l_4, A_2) + w'(l_4 l_1, A_3) + w'(l_1 l_2, A_4).$$

Если ломаные образуют почти вложение графа-цикла, то

$$\text{cy}(l_1, l_2, l_3, l_4) = \text{cy}(l_1 l_2, l_3, l_4) = \text{cy}(l_1, l_2 l_3, l_4) = \text{cy}(l_1, l_2, l_3 l_4) = \text{cy}(l_4 l_1, l_2, l_3)$$

ввиду леммы 8.5, примененной к парам сужений отображения на несмежные ребра цикла.

(б) Для любого почти вложения $f : K_4 \rightarrow \mathbb{R}^2$ имеем

$$\text{cy}(f|_{12}, f|_{23}, f|_{34}, f|_{41}) = \sum_{j=1}^4 w_f(C_j, j).$$

(Ср. утверждение 8.2.а.) Это равенство получается применением леммы 8.5 к паре сужений отображения на ребра 13 и 24. Вместе с равенствами из п. (а) и утверждением 7.2 оно дает еще одно доказательство теоремы 4.2.

(с) Аналоги триодического числа можно определить для n ломаных с общей вершиной, образующих слабое почти вложение графа $K_{n,1}$.

Взрезанным бокс-квадратом $K^{\square 2}$ графа K называется граф,

- вершинами которого являются упорядоченные пары $i \times j$ различных вершин i, j графа K ;
- ребро между вершинами $i \times p$ и $j \times q$ проводится, если либо $i = j$ и pq — ребро в K , либо ij — ребро в K и $p = q$; эти ребра обозначаются $i \times pq$ и $ij \times p$ соответственно.

Замечание 9.2 (определение взрезанного квадрата графа и клеточной структуры на его подмножестве). Множество \tilde{K} пар различных точек (тела⁸) графа K называется *взрезанным квадратом* графа K , т. е. $\tilde{K} := \{(x, y) \in K \times K : x \neq y\}$. (Более точно, в предыдущей формуле нужно заменить $K \times K$ на $|K| \times |K|$, где $|K|$ — тело графа K .)

Далее, под вершинами и ребрами графа K мы также подразумеваем соответствующие подмножества тела графа K .

Во взрезанном квадрате графа K имеется естественное подмножество

$$\cup \{\sigma \times \tau : \sigma, \tau \text{ — симплексы в } K, \sigma \cap \tau = \emptyset\},$$

называемое *симплициальным взрезанным квадратом* графа K (ср. с определениями в [MNS, §2.4], [Sk06, §5]). На этом подмножестве имеется естественная клеточная структура:

- $\{v_1 \times v_2 : v_1, v_2 \text{ — различные вершины в } K\}$ — набор 0-клеток (вершин),
- $\{v \times e, e \times v : v \text{ — вершина в } K, \text{ не принадлежащая ребру } e \text{ графа } K\}$ — набор 1-клеток (ребер),
- $\{e_1 \times e_2 : e_1, e_2 \text{ — несмежные ребра в } K\}$ — набор 2-клеток (граней).

⁸Рассмотрим произвольный симплекс, вершины которого отождествлены с вершинами графа K . Тогда *телом* графа K называется объединение тех ребер симплекса, которые соответствуют ребрам графа K .

Взрезанный бокс-квадрат $K^{\square 2}$ (более точно, его тело) является объединением ребер взрезанного квадрата \tilde{K} графа K (более точно, *симплициального взрезанного квадрата*; см. определение в [Sk, §8.2] или [Sk06, §4, The van Kampen obstruction mod 2]).

Обозначим через E множество ребер графа $K^{\square 2}$. Назовем *расстановкой* (чисел на ребрах графа $K^{\square 2}$) отображение $E \rightarrow \mathbb{R}$ (общепринятое название — *коцепь* или *цепь*). Определим *сумму* расстановок w_1, w_2 и *значение* расстановки w на расстановке C формулами

$$(w_1 + w_2)(e) := w_1(e) + w_2(e) \quad \text{и} \quad w(C) := \sum_{e \in E} w(e)C(e).$$

Зафиксируем произвольный набор ориентаций на ребрах графа K . Для каждой вершины v графа K возьмем на ребрах $v \times e$ и $e \times v$ взрезанного бокс-квадрата $K^{\square 2}$ направления, соответствующие направлению на ребре e графа K .

Расстановка целых чисел называется (симплициальным) *целочисленным 1-циклом* (в $K^{\square 2}$), если для каждой вершины сумма целых на входящих ребрах равна сумме чисел на исходящих (правило Кирхгофа).

Сопоставим ориентированному циклу в $K^{\square 2}$ следующий целочисленный 1-цикл. Если ребро e графа $K^{\square 2}$ не принадлежит ориентированному циклу, то поставим на e число 0. Иначе если ориентация, зафиксированная на ребре e , совпадает с ориентацией цикла, то поставим на e число $+1$, а если противоположна, то -1 .

Вот примеры ориентированных циклов в $K^{\square 2}$ (которым ввиду предыдущего абзаца сопоставляются соответствующие целочисленные 1-циклы):

- если $C = v_1 \dots v_n$ — ориентированный цикл в графе K и $v \notin C$, то *левым* и *правым* циклом соответственно называются

$$C \times v := v_1 \times v, \dots, v_n \times v \quad \text{и} \quad v \times C := v \times v_1, \dots, v \times v_n;$$

- *границей* для ориентированных несмежных ребер ij, pq графа K называется

$$\partial(ij \times pq) := i \times p, j \times p, j \times q, i \times q;$$

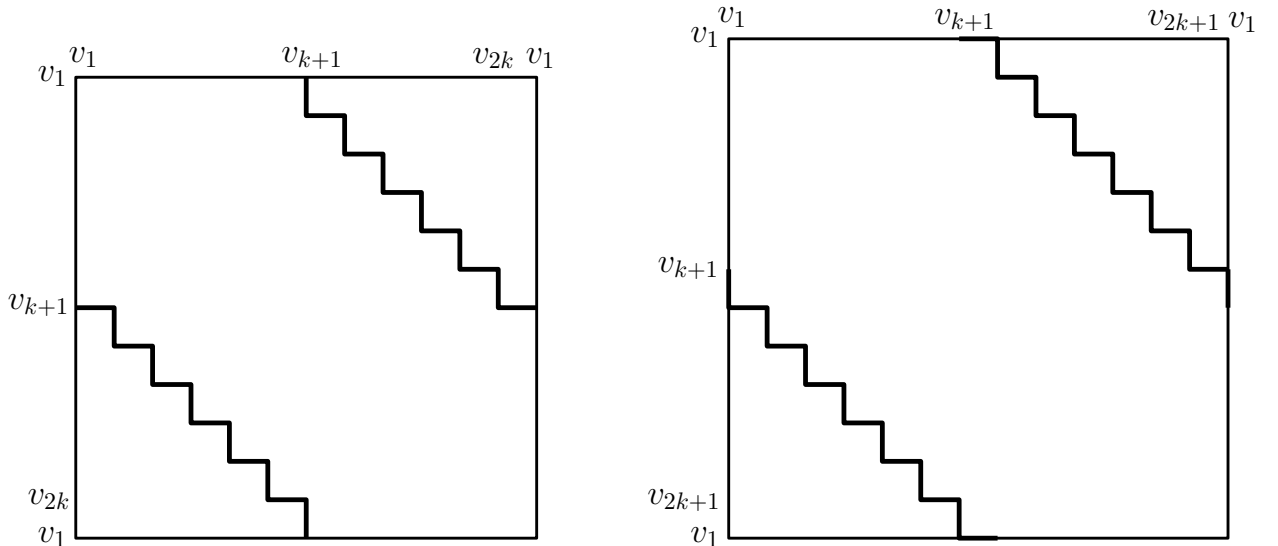


Рис. 9.1. Антидиагональный цикл, соответствующий циклу четной (слева) и нечетной (справа) длины для $k = 6$

- для $K = K_3$ *антидиагональным циклом* называется

$$\text{adiag}(123) := 1 \times 2, 1 \times 3, 2 \times 3, 2 \times 1, 3 \times 1, 3 \times 2;$$

• если $v_1 \dots v_n$ — ориентированный простой цикл в графе K , то *антидиагональным циклом* (см. рисунок 9.1) называется

$$\begin{aligned} \text{adiag}(v_1 \dots v_{2k+1}) &:= v_1 \times v_{k+1}, v_1 \times v_{k+2}, v_2 \times v_{k+2}, \dots, v_{k+1} \times v_{2k+1}, \\ &\quad v_{k+1} \times v_1, v_{k+2} \times v_1, v_{k+2} \times v_2, \dots, v_{2k+1} \times v_{k+1}, \\ \text{adiag}(v_1 \dots v_{2k}) &:= v_1 \times v_{k+1}, v_2 \times v_{k+1}, v_2 \times v_{k+2}, \dots, v_{k+1} \times v_{2k}, \\ &\quad v_{k+1} \times v_1, v_{k+1} \times v_2, v_{k+2} \times v_2, \dots, v_{2k} \times v_{k+1} \end{aligned}$$

(этот цикл является дискретной версией цикла $\{(x, -x) : x \in S^1\} \subset S^1 \times S^1$ с некоторой ориентацией; он гомологичен околодиагональному циклу из [MNS, §1.7, перед задачей 1.7.2]; в статье [MNS] антидиагональным называется совсем другой цикл);

• для $K = K_{3,1}$ *триодическим циклом* называется

$$\text{triod}(123, 4) := 1 \times 2, 1 \times 4, 1 \times 3, 4 \times 3, 2 \times 3, 2 \times 4, 2 \times 1, 4 \times 1, 3 \times 1, 3 \times 4, 3 \times 2, 4 \times 2$$

(ср. определение триодического цикла [MNS, §1.9, после гипотезы 1.9.3]);

• *триодическим циклом* также называется аналогичный цикл, соответствующий $K_{3,1}$ -подграфу графа K .

Имеем

• если C_1, C_2 — целочисленные 1-циклы в графе $K^{\square 2}$, то их сумма $C_1 + C_2$ тоже является целочисленным 1-циклом;

• если C — целочисленный 1-цикл и α целое, то αC тоже является целочисленным 1-циклом.

Для каждого целочисленного 1-цикла C и почти вложения f определим C -число Wu $w_f(C)$ как значение на C следующей *расстановки вращений* w_f . Возьмем ребро bc графа K , ориентированное от b к c . Для ребер $bc \times a$ и $a \times bc$ графа $K^{\square 2}$ определим

$$w_f(bc \times a) = w_f(a \times bc) := w'(f|_{bc}, f(a)) \in \mathbb{R}.$$

Это количество оборотов вектора с началом в $f(a)$ и концом, пробегающим ломаную $f|_{bc}$.

Утверждение 9.3. Для любого почти вложения $f : K \rightarrow \mathbb{R}^2$

(a) число $w_f(C)$ целое для произвольного целочисленного 1-цикла C ;

(b) если в графе $K^{\square 2}$ вершины $a \times b$ и $b \times a$ соединены ориентированным путем l , то число $2w_f(l)$ целое и нечетное (ср. замечание 7.7.c; сопоставление ориентированному пути расстановки аналогично сопоставлению ориентированному циклу 1-цикла).

Утверждение 9.4. Для любого почти вложения $f : K \rightarrow \mathbb{R}^2$ имеем

(a) $w_f(C \times v) = w_f(v \times C) = w_f(C, v)$ для любых ориентированного цикла C в K и вершины $v \notin C$;

(b) $w_f(\partial(e \times e')) = 0$ для любых ориентированных несмежных ребер e, e' графа K (по лемме 8.5);

(c) $w_f(\text{adiag}(123)) = \text{cy}_f(4)$ и $w_f(\text{triod}(123, 4)) = \text{tr}_f(4)$ для $K = K_4$;

(d) $w_f(C_1 + C_2) = w_f(C_1) + w_f(C_2)$ и $w_f(\alpha C) = \alpha w_f(C)$ для любых целочисленных 1-циклов C_1, C_2, C и целого α .

Из равенства целочисленных 1-циклов следует равенство их чисел Wu . Поэтому и ввиду утверждения 9.4 магические равенства из замечания 8.6.b доказывают равенства (1) и (2) из доказательства утверждения 8.2.

Два целочисленных 1-цикла называются *гомологичными*, если их разность равна линейной комбинации границ $\partial(e \times e')$ с целыми коэффициентами. Если два целочисленных 1-цикла гомологичны, то соответствующие им числа Wu совпадают ввиду утверждения 9.4.b. Соотношения между обратными, циклическими и триодическими числами в утверждениях 5.1, 5.5, 8.1, 8.2 и замечаниях 5.2, 8.3, 8.4 возникают из гомологичности некоторых целочисленных 1-циклов. Теоремы 4.2, 5.3.a и утверждения 7.2, 7.5 имеют другую (но тоже алгебраическую)

природу, связанную с теоремой Борсука–Улама 2.3. Теорема 5.3.b — существенно другой, геометрический результат.

Обозначим через $H_1(\tilde{K}, \mathbb{Z})$ группу всех целочисленных 1-циклов в $K^{\square 2}$ с точностью до гомологичности. С точностью до изоморфизма инвариант Бу почти вложения f — это гомоморфизм $w_f : H_1(\tilde{K}, \mathbb{Z}) \rightarrow \mathbb{Z}$, см. утверждение 9.4.d и ср. замечание 9.11.

Проблема 9.5 (ср. проблему 6.1). *Для данного плоского графа K опишите гомоморфизмы $H_1(\tilde{K}, \mathbb{Z}) \rightarrow \mathbb{Z}$, равные w_f для некоторого почти вложения $f : K \rightarrow \mathbb{R}^2$.*

Возможно, это описание не имеет красивой формулировки. Тогда интересен алгоритм, который по гомоморфизму $H_1(\tilde{K}, \mathbb{Z}) \rightarrow \mathbb{Z}$ выясняет, равен ли он w_f для некоторого почти вложения $f : K \rightarrow \mathbb{R}^2$.

Группа $H_1(\tilde{K}_4, \mathbb{Z})$ порождается всеми левыми и правыми циклами $C_j \times j$ и $j \times C_j$, см. рисунок 8.3. Поэтому для описания гомоморфизма $H_1(\tilde{K}_4, \mathbb{Z}) \rightarrow \mathbb{Z}$ достаточно задать его значения на этих левых и правых циклах, т. е. задать значения всех оборотных чисел $w_f(j)$. Это рассуждение вместе с теоремами 4.2 и 4.3 дает решение проблемы 9.5 для $K = K_4$.

Теорема 9.6. *Пусть K — граф выпуклого многогранника в \mathbb{R}^3 . Для любого целочисленного 1-цикла C существует линейная комбинация с рациональными коэффициентами триодических и оборотных чисел, равная C -числу Бу $w_f(C)$ для любого почти вложения $f : K \rightarrow \mathbb{R}^2$.*

Далее, циклическим числом почти вложения $f : K \rightarrow \mathbb{R}^2$ мы называем C -число Бу $w_f(C)$ для антидиагонального цикла $C := \text{adiag}(v_1 \dots v_n)$, соответствующего простому циклу $v_1 \dots v_n$ в графе K .

Теорема 9.7. *Пусть K — связный граф. Для любого целочисленного 1-цикла C существует линейная комбинация с рациональными коэффициентами циклических и триодических чисел, равная C -числу Бу $w_f(C)$ для любого почти вложения $f : K \rightarrow \mathbb{R}^2$.*

Теоремы 9.6 и 9.7 являются частными случаями следующих двух теорем, соответственно, для гомоморфизма $w_f : H_1(\tilde{K}; \mathbb{Z}) \rightarrow \mathbb{Z}$.

Теорема 9.8 ([A126]). *Пусть K — граф выпуклого многогранника в \mathbb{R}^3 . Обозначим через C_1, \dots, C_n все триодические, левые и правые циклы. Для любого целочисленного 1-цикла C существует набор чисел $c_1, \dots, c_n \in \mathbb{Q}$, такой что для любого гомоморфизма $\varphi : H_1(\tilde{K}; \mathbb{Z}) \rightarrow \mathbb{Z}$ верно $\varphi(C) = \sum_{i=1}^n c_i \varphi(C_i)$.*

Теорема 9.9 ([A126]). *Пусть K — связный граф. Обозначим через D_1, \dots, D_m все триодические и антидиагональные циклы. Для любого целочисленного 1-цикла C существует набор чисел $d_1, \dots, d_m \in \mathbb{Q}$, такой что для любого гомоморфизма $\varphi : H_1(\tilde{K}; \mathbb{Z}) \rightarrow \mathbb{Z}$ верно $\varphi(C) = \sum_{i=1}^m d_i \varphi(D_i)$.*

Эти две теоремы доказаны в [A126], опираясь на результаты статей [Ho07, Dz25, BF09].

Замечание 9.10 (эквивалентное определение чисел Бу). Приведем определение расстановки $u_{f,l}$, отличной от w_f , для которого все числа $u_{f,l}(a \times bc)$ будут полуцелыми, а числа Бу (т. е. значения на целочисленных 1-циклах) — прежними.

Возьмем любую (неориентированную) прямую l на плоскости, не параллельную ни одной прямой, соединяющей вершины ломаных, являющихся образами ребер графа. Рассмотрим вектор с началом в $f(a)$ и концом, пробегающим ломаную $f|_{bc}$ в заданном (на ребре bc) направлении. Определим полуцелое число $u_{f,l}(a \times bc)$ как полуразность количеств прохождений этим вектором направления прямой l в положительном и в отрицательном направлении (ср. [Sk, п. 1.5.4].)

Иными словами, определим отображение $\tilde{f} : bc \rightarrow S^1$ ребра bc в окружность формулой $\tilde{f}(x) := \frac{f(x) - f(a)}{|f(x) - f(a)|}$. Тогда $u_{f,l}(a \times bc)$ есть полусумма знаков [Sk20, §8] \tilde{f} -прообразов двух точек окружности, отвечающих прямой l .

Определим $u_{f,l}(e \times a) = u_{f,l}(a \times e)$. Построенную расстановку $u_{f,l}$ чисел на ориентированных ребрах графа $K^{\square 2}$ назовем *полуцелочисленной расстановкой вращений*.

Все числа Ву расстановок $u_{f,l}$ и w_f равны ввиду целочисленной версии утверждения 5.9 [ABM+, утверждение 2.4.a].

Замечание 9.11 (инвариант Ву). Приводимое определение аналогично определению в [Ta95], ср. [Sk06, §4].

Назовем *коциклом* расстановку полуцелых чисел, значение которой на произвольной границе равно нулю. Например, расстановка $u_{f,l}$ является коциклом. А вот другой важный пример коцикла: *кограницей* δv вершины v графа $K^{\square 2}$ называется расстановка

- чисел $+1/2$ на ребрах графа $K^{\square 2}$, входящих в v ,
- чисел $-1/2$ на ребрах, выходящих из v , и
- нулей на остальных ребрах.

Ясно, что значение кограницы на любом целочисленном 1-цикле равно нулю.

Рассмотрим симметрию (инволюцию) s на $K^{\square 2}$, переставляющую компоненты (то есть $s(x, y) = (y, x)$) и отображение, индуцированное этой симметрией, на расстановках.

Симметризованной кограницей вершины v графа $K^{\square 2}$ называется расстановка $\delta v + \delta sv$.

Расстановки полуцелых чисел на ориентированных ребрах графа $K^{\square 2}$ называются *симметрично когомологичными*, если их разность является целочисленной линейной комбинацией симметризованных кограниц вершин этого графа.

Обозначим через $H_s^1(\tilde{K}; \frac{1}{2}\mathbb{Z})$ группу симметричных коциклов с точностью до симметричной когомологичности (см. замечание 8.6). *Инвариантом Ву* $Wu(f) := [u_{f,l}] \in H_s^1(\tilde{K}; \frac{1}{2}\mathbb{Z})$ называется класс полуцелочисленной расстановки вращений.

Корректность этого определения вытекает из утверждения 9.12.b. Ввиду утверждения 9.3 разность $Wu(f) - Wu(g)$ принимает значения в подгруппе $H_s^1(\tilde{K}; \mathbb{Z}) \subset H_s^1(\tilde{K}; \frac{1}{2}\mathbb{Z})$, полученной аналогично из расстановок *целых* чисел. Ср. [Sk, §9.3].

Утверждение 9.12. (a) *Полуцелочисленные расстановки вращений для двух вложений на рисунке 10.1.b не являются симметрично когомологичными (ни для какой прямой l). То же для рисунка 10.1.c.*

(b) *Для любых прямых l и l' расстановки $u_{f,l}$ и $u_{f,l'}$ симметрично когомологичны.*

(c) *Для любой вершины v графа $K^{\square 2}$ существуют прямые l и l' , для которых $u_{f,l} - u_{f,l'} = \delta v + \delta tv$.*

10. О КЛАССИФИКАЦИИ ПОЧТИ ВЛОЖЕНИЙ

Два (почти) вложения $f, g : K \rightarrow \mathbb{R}^2$ называются (*почти*) *изотопными*, если одно можно непрерывно продеформировать в другое так, чтобы в процессе деформации отображение оставалось (почти) вложением. Вот строгая формулировка этого условия: существует семейство (почти) вложений $f_t : K \rightarrow \mathbb{R}^2$, непрерывно зависящее от параметра $t \in [0, 1]$, для которого $f_0 = f$ и $f_1 = g$.

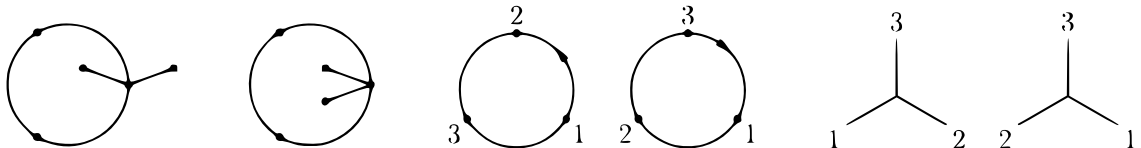


Рис. 10.1. Различные вложения (a) некоторого графа, (b) окружности, и (c) триода

Например, пары вложений на каждом из рисунках 10.1.abc не изотопны (и даже не почти изотопны). Это следует из того, что обратное, циклическое, триодическое числа (а также числа Ву из §9) являются инвариантами (почти) вложения относительно (почти) изотопии.

Теорема 10.1. *Два вложения связного графа в плоскость изотопны тогда и только тогда, когда их сужения на любой триод и на любой несамопересекающийся цикл изотопны (т. е. не таковы, как на рисунках 10.1.бс).*

Эту теорему можно сначала доказать для деревьев, а потом свести общий случай к случаю деревьев путем выделения максимального дерева. Детали технически непросто (как это часто бывает для базовых результатов топологии плоскости).⁹ Аналог теоремы 10.1 без утверждения в скобках справедлив для вложений в сферу, тор и другие сферы с ручками. Доказательство аналогично.

О классификации *погружений* (т. е. «локальных вложений») графа в плоскость с точностью до *регулярной гомотопии* (т. е. «локальной изотопии») см. [Pe08, Pe16].

Замечание 10.2. (а) Для вложения графа в плоскость рассмотрим циклические и триодические числа его сужений на всевозможные циклы и триоды в графе (см. замечание 9.1.а). Ввиду теоремы 10.1 для любого связного графа если все эти числа у двух вложений в плоскость равны, то эти вложения изотопны. (Ср. аналог проблемы 9.5 для «вложений» вместо «почти вложений».)

(б) Из п. (а) следует, что если два вложения связного графа в плоскость почти изотопны, то они изотопны.

(с) Утверждение, аналогичное утверждению из п. (а), для почти изотопий почти вложений неверно (даже если к циклическим и триодическим числам добавить всевозможные числа Ву, в частности, оборотные числа). Это вытекает из того, что петля $aba^{-1}b^{-1}$ на плоскости без двух точек не гомотопна постоянной петле.

Гипотеза 10.3. *Для любого дерева (или хотя бы для графа $K_{n,1}$) если для двух почти вложений этого дерева равны все триодические числа сужений на всевозможные триоды, то эти почти вложения почти изотопны.*

Замечание 10.4 (аналог проблемы 6.1 для вложений). По утверждению 4.1.с, $w_f(C, v) \in \{-1, 0, 1\}$ для любой вершины $v \in K$ и любого ориентированного простого цикла $C \in K - v$.

На данный момент *явного* решения аналога проблемы 6.1 для вложений неизвестно. Используя следующее описание, можно получить *неявное* описание того, как значения инвариантов меняются при следующих операциях (3)–(0).

Хасслер Уитни описал (см. книги [Di97, §4.3], [MT01, §2.6] и обзор [Sk05, p.7, Problem]) простые операции над вложениями графов в сферу, которые позволяют получить любое вложение из любого другого. Здесь мы рассматриваем вложения в сферу с точностью до гомеоморфизма сферы. Не строго говоря, это описание заключается в следующем.

(3) Планарный 3-связный граф имеет единственное вложение.



Рис. 10.2. Переворачивание блока

(2) Любое вложение 2-связного графа может быть получено из любого другого «переворачиванием 3-связной компоненты (блока)» (рисунок 10.2).

(1) Любое вложение 1-связного (=связного) графа может быть получено из любого другого «переворачиванием 2- и 3-связных компонент».

(0) Любое вложение 0-связного (=произвольного) графа может быть получено из любого другого «переворачиванием 1-, 2- и 3-связных компонент».

⁹Теорема 10.1 сформулирована в книге [Wu65] со ссылкой на статью Маклейна-Эджиссона, которую не удалось найти в указанном там сборнике. Специалисты по топологической теории графов подтверждают, что эта теорема известна (и верна). В книге [Wu65] теорема 10.1 сформулирована для вложений даже *локально связного континуума* (в частности, *полиэдра*).

Замечание 10.5. (а) Для любой прямой l полуцелочисленные расстановки вращений любых (почти) изотопных (почти) вложений $f, f' : K \rightarrow \mathbb{R}^2$ симметрично когомологичны. Поэтому инвариант Ву является инвариантом (почти) изотопии.

(б) Для любой вершины v графа $K^{\square 2}$ существует (почти) вложение $f' : K \rightarrow \mathbb{R}^2$, (почти) изотопное (почти) вложению f , и прямая l , для которых $u_{f,l} - u_{f',l} = \delta v + \delta tv$. Это вытекает из утверждения 9.12.b.

11. Почти вложения для многомерного случая

Гиперграфы — многомерные аналоги графов: ребрами могут быть не только двухэлементные, но и любые подмножества вершин.

Замечание 11.1. (а) Классическая задача топологии, комбинаторики и компьютерной науки — нахождение критериев (и алгоритмов распознавания) реализуемости гиперграфов в евклидовом пространстве данной размерности d .

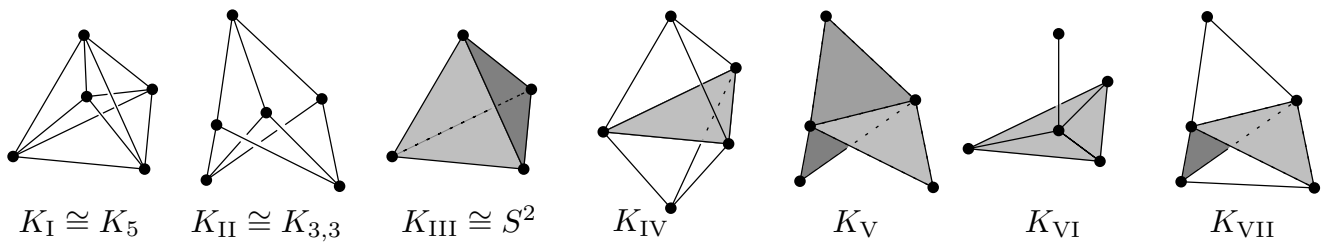


Рис. 11.1. Двумерные гиперграфы, не вложимые в плоскость

Такой критерий получен классиками топологии (Эгберт ван Кампен, Арнольд Шапиро, Вэньцзюнь Ву, Андре Хэфлигер, Клод Вебер) в 1930-1960-е гг. для $2d \geq 3k + 3$, где k — размерность гиперграфа, см. обзор [Sk06, §5]. Основанный на этом критерии полиномиальный алгоритм распознавания реализуемости получен в 2013 (Мартин Чадек, Мартин Крчал, Лукас Вокжинек), см. обзор [Sk18, §3].

Алгоритмическая неразрешимость для $2d < 3k + 2$ анонсирована в 2019 году на конференции в Обервольфахе (Марек Филадельфийский, Ульрих Вагнер и Стефан Жечев). Дыру в доказательстве нашел [Sk20e] в 2020 году А. Скопенков (она признана авторами). Не было доказано, что в многомерном аналоге для *вложений* теоремы 5.3.b (и примера [KS20, Proposition 1.2]) некоторый коэффициент зацепления равен ± 1 .

В 2020 году Роман Карасев и А. Скопенков показали, что для *почти вложений* этот коэффициент зацепления может принимать любое нечетное значение [KS20, Theorem 1.4]. Их гипотеза об аналогичном результате для графов на плоскости опровергнута в 2023 году Тимуром Гараевым, см. теорему 5.3.b [Ga23, Theorem 1].

(б) В предыдущем пункте (и в других замечаниях этого параграфа), вложения подразумеваются кусочно-линейными (PL), а под реализуемостью понимается существование PL вложения. Очевидно, PL вложимость влечет топологическую (TOP) вложимость (см. определения PL и TOP вложимости в [Sk, 6.5.1.b]). PL и TOP вложимости k -гиперграфов в \mathbb{R}^d равносильны при $d \geq k + 3$ [Br72] или при $d = k + 1 \in \{2, 3\}$ [Mo77] (см. смежные результаты в [Sk, 6.5.1.c]).

Замечание 11.2 (почти вложения в многомерном случае). В этом замечании вместо гиперграфов мы говорим о близком понятии (*симплициальных*) комплексов, рассматриваемом в топологии.

Отображение $f : K \rightarrow Y$ комплекса K в подмножество $Y \subset \mathbb{R}^d$ называется *почти вложением*, если образы несмежных (т. е. не имеющих общих вершин) граней не пересекаются, т. е. если $f\sigma \cap f\tau = \emptyset$ для любых несмежных граней σ, τ .

(а) Почти вложения комплексов (в многомерные евклидовы пространства) фактически возникли в 1960-х годах у Вебера при изучении вложений комплексов, см. обзор [Sk06, §8]. Это понятие явно сформулировано в [FKT, §4]. См. также [ST17, §1, ‘Motivation and background’]. Почти вложения комплексов естественно возникают и применяются также

- в комбинаторной геометрии (теоремы типа Хелли о выпуклых множествах; см. [Mat97, GPP+]), и
- в топологической комбинаторике (тверберговские теоремы о многократных пересечениях; см. обзор [Sk16, §1]).

Вот недавние работы о почти вложениях комплексов в многообразия: [ST17, KS20, PT19, Al22, DS22, KS21, Sk24].

(б) Почему почти вложения, \mathbb{Z} - и \mathbb{Z}_2 -вложения интересны в связи с изучением вложений?

См. определения \mathbb{Z} - и \mathbb{Z}_2 -вложений в замечании 1.4 и в [Sk24, §1.1], [Sk, §§6.8, 6.9].

Некоторые доказательства неволожимости комплексов в \mathbb{R}^d на самом деле показывают, что эти комплексы не почти вложимы в \mathbb{R}^d . Некоторые из этих доказательств показывают, что эти комплексы даже не \mathbb{Z}_2 -вложимы в \mathbb{R}^d при $d = 2k$. Это справедливо, например, для

- границы $(d+1)$ -симплекса (его не почти вложимость есть топологическая теорема Радона; см. теорему 5.12 для $d = 2$, обзоры [Sk16, §1.1, (TR_d)], [Sk18, §2.2 и Theorem 3.1.5], [Sk14, Theorem 1.4]), и
- k -комплекса Δ_{2k+2}^k и $d = 2k$ (его не- \mathbb{Z}_2 -вложимость есть версия теоремы ван Кампена–Флореса; см. теорему 5.10 для $k = 1$, обзоры [Sk16, §1.1, (VKF_{2k})], [Sk18, §1.4 и Theorem 3.1.6]).

С другой стороны, некоторые построения вложений содержат построения почти или \mathbb{Z} -вложений как удобный промежуточный шаг, позволяющий структурировать доказательство и описать связь с известными результатами и методами.

О связях почти вложимости и \mathbb{Z} -, \mathbb{Z}_2 -вложимости с вложимостью комплексов см. теоремы 11.3, 11.4 и [Sk24, Theorem 1.2.1a], [Sk, §6.8, §6.9 and Remarks 8.2.5.ab].

(д) Аналог замечания 1.3.с справедлив для почти вложений комплексов в многообразия.

(е) Родственное, но другое понятие изучалось под названием почти вложение в [Sk05i, Sk06c, CRS, CRS’].

(ф) Изучение вложений k -комплексов в $2k$ -многообразия при $k > 1$ аналогично изучению \mathbb{Z}_2 -вложений (а не вложений) графов в поверхности. Действительно, неравенство Эйлера $V - E + F \geq \chi(M)$ не доказано, а может быть и неверно, для \mathbb{Z}_2 -вложений графов в поверхность M . Для изучения \mathbb{Z}_2 -вложений графов в поверхность вместо неравенства Эйлера применяется форма пересечений поверхности. Критерии вложимости k -комплексов в $2k$ -многообразии при $k > 1$ также получены на языке формы пересечений, см. [PT19, Sk24]. Об идее, в некотором смысле заменяющей неравенство Эйлера, и о реализации этой идеи, см. [Ka91], [Ad18], [DS22, §6].

Теорема 11.3 (Вебер). Если $d \geq \frac{3(k+1)}{2}$ и k -комплекс почти вложим в \mathbb{R}^d , то этот комплекс PL вложим в \mathbb{R}^d .

См. обзор [Sk06, §8]; ср. [Sk18, Theorem 3.2.6].

Теорема 11.4. Для любых d, k , таких что $k+2 \leq d \leq \frac{3k}{2} + 1$ (в частности, для $d = 2k = 4$) существует k -комплекс почти вложимый в \mathbb{R}^d , но не PL вложимый в \mathbb{R}^d .

См. [SSS, Пример на стр. 338]; ср. [SS92]; изложение идеи доказательства из [SSS] приведено в обзоре [Sk06, §7].

Неизвестно, существует ли 2-комплекс почти вложимый в \mathbb{R}^3 , но не вложимый в \mathbb{R}^3 . (Несложно и известно, что конус над K_5 или над $K_{3,3}$ не вложим в \mathbb{R}^3 , ср. [Sk14, §4.4, Proof of Proposition 4.1.a]. Конус над K_5 не почти вложим в \mathbb{R}^3 по теореме Конвея–Гордона–Закса [Sk24’, Предложение 1.2.9.a]. Мы выдвигаем гипотезу, что конус над $K_{3,3}$ не почти вложим в \mathbb{R}^3 .)

Родственный, но другой пример — это 2-комплекс, \mathbb{Z} -вложимый, но не почти вложимый в \mathbb{R}^4 [FKT, §3.2, §3.3, §4]; доказательство, не использующее теорему Столлингса о центральных рядах групп, см. в [AMS+, Theorem 1.6] и [Al22].

Теорема 11.5 ([ST17]). *Для любых фиксированных $d, k \geq 2$, таких что $d = \frac{3k}{2} + 1$, алгоритмическая задача распознавания почти вложимости k -комплексов в \mathbb{R}^d является NP-трудной.*

По-видимому, теорема верна и для $k + 2 \leq d < \frac{3k}{2} + 1$ [Al22].

Аналогичный результат для вложений справедлив и принадлежит Иржи Матушеку, Мартину Танцеру и Ульриху Вагнеру (см. [MTW] и обзор [Sk18, Theorem 3.2.8]).

Проблема 11.6. *Для каких k, d существует алгоритм распознавания почти вложимости k -комплексов в \mathbb{R}^d ?*

Для $d \geq 3(k + 1)/2$ существует (полиномиальный) алгоритм, поскольку для $d \geq 3(k + 1)/2$ и k -комплексов в \mathbb{R}^d

- почти вложимость эквивалентна PL вложимости (теорема 11.3); и
- существует (полиномиальный) алгоритм распознавания PL вложимости (см. второй абзац в замечании 11.1).

СПИСОК ЛИТЕРАТУРЫ

- [ABM+] * Э. Алкин, Е. Бордачева, А. Мирошников, А. Скопенков, Инварианты почти вложений графов в плоскость, arXiv:2410.09860v1.
- [Ad18] K. Adiprasito, Combinatorial Lefschetz theorems beyond positivity, arXiv:1812.10454v4.
- [Al22] E. Alkin, Hardness of almost embedding simplicial complexes in \mathbb{R}^d , II. arXiv:2206.13486
- [Al26] E. Alkin, Generators of the symmetric cohomology group of the deleted product of a graph, draft.
- [AMS] * Э. Алкин, А. Мирошников, А. Скопенков, Инварианты почти вложений графов в плоскость, arXiv:2410.09860v2.
- [AMS+] S. Avvakumov, I. Mabillard, A. Skopenkov and U. Wagner. Eliminating Higher-Multiplicity Intersections, III. Codimension 2, Israel J. Math. 245 (2021) 501–534. arxiv:1511.03501.
- [AM25] E. Alkin, A. Miroshnikov, On winding numbers of almost embeddings of K_4 in the plane, Math. Notes, to appear, arXiv:2501.15642.
- [ANS] * E. Alkin, O. Nikitenko, A. Skopenkov, Homotopy classification of closed polygonal lines: results and problems, arXiv:2508.16287.
- [BB79] E. G. Bajmóczy and I. Bárány, On a common generalization of Borsuk’s and Radon’s theorem, Acta Math. Acad. Sci. Hungar. 34:3 (1979), 347–350.
- [BF09] K. Barnett, M. Farber. Topology of Configuration Space of Two Particles on a Graph, I. Algebr. Geom. Topol. 9 (2009) 593–624. arXiv:0903.2180.
- [Bi21] A. I. Bikeev, Criteria for integer and modulo 2 embeddability of graphs to surfaces, arXiv:2012.12070v2.
- [Br72] J. L. Bryant. Approximating embeddings of polyhedra in codimension 3, Trans. Amer. Math. Soc., 170 (1972) 85–95.
- [CKP+] E. Colin de Verdière, V. Kaluza, P. Paták, Z. Patáková and M. Tancer. A direct proof of the strong Hanani-Tutte theorem on the projective plane. Journal of Graph Algorithms and Applications, 21:5 (2017) 939–981.
- [CRS] M. Cencelj, D. Repovš and M. Skopenkov, Classification of knotted tori in the 2-metastable dimension, Mat. Sbornik, 203:11 (2012), 1654–1681. arxiv:0811.2745.
- [CRS’] M. Cencelj, D. Repovš and M. Skopenkov, Homotopy type of the complement of an immersion and classification of embeddings of tori, Russian Math. Surv. 62:5 (2007), 985–987, arXiv:0803.4285.
- [Di97] * R. Diestel. Graph Theory. Springer-Verlag, Heidelberg, 1997.
- [DS22] S. Dzhenzher and A. Skopenkov, A quadratic estimation for the Kühnel conjecture on embeddings, arXiv:2208.04188.
- [Dz25] E. Dzhenzher, Symmetric 1-cycles in the deleted product of a graph, Topol. Appl. (2025) 109277.
- [FK19] R. Fulek, J. Kynčl, \mathbb{Z}_2 -genus of graphs and minimum rank of partial symmetric matrices, 35th Intern. Symp. on Comp. Geom. (SoCG 2019), Article No. 39; pp. 39:1–39:16, <https://drops.dagstuhl.de/opus/volltexte/2019/10443/pdf/LIPIcs-SoCG-2019-39.pdf>. We refer to numbering in arXiv version: arXiv:1903.08637.
- [FKT] M. H. Freedman, V. S. Krushkal and P. Teichner. Van Kampen’s embedding obstruction is incomplete for 2-complexes in \mathbb{R}^4 , Math. Res. Letters. 1994. 1. P. 167–176.

- [FN09] *T. Fleming and R. Nikkuni*, Homotopy on spatial graphs and the Sato-Levine invariant, *Trans. Amer. Math. Soc.* 361:4 (2009), 1885–1902.
- [FK17] *R. Fulek, J. Kynčl*, Counterexample to an Extension of the Hanani-Tutte Theorem on the Surface of Genus 4, *Combinatorica*, 39 (2019) 1267–1279. arXiv:1709.00508
- [FPS] *R. Fulek, M.J. Pelsmajer, M. Schaefer*. Strong Hanani-Tutte for the Torus, arXiv:2009.01683.
- [GA] * https://en.wikipedia.org/wiki/Galactic_algorithm
- [Ga23] *T. Garaev*, On drawing K_5 minus an edge in the plane, arXiv:2303.14503.
- [GPP+] *X. Goaoc, P. Paták, Z. Patáková, M. Tancer, and U. Wagner*. Bounding Helly numbers via Betti numbers. In 31st International Symposium on Computational Geometry, volume 34 of LIPIcs. Leibniz Int. Proc. Inform., pp. 507–521. Schloss Dagstuhl. Leibniz-Zent. Inform., Wadern, 2015. Full version: arXiv:1310.4613.
- [Ho07] *H. van der Holst*, Algebraic characterizations of outerplanar and planar graphs, *European J. Combin.*, 28:8 (2007), 2156–2166.
- [IKN+] *A. Inoue, N. Kimura, R. Nikkuni, K. Taniyama*, Crossing numbers and rotation numbers of cycles in a plane immersed graph, *J. of Knot Theory and Its Ramif.* 31:11, 2250076 (2022). arXiv:2205.01013.
- [Ka91] *G. Kalai*, The diameter of graphs of convex polytopes and f -vector theory, *Applied geometry and discrete mathematics*, DIMACS Ser. Discrete Math. Theoret. Comput. Sci., vol. 4, Amer. Math. Soc., Providence, RI, 1991, pp. 387–411.
- [KKR] *K. Kawarabayashi, Y. Kobayashi, B. Reed*. The disjoint paths problem in quadratic time, *J. of Comb. Theory, Ser. B*, 102:2 (2012), 424–435.
- [KLN] *J. Kratochvíl, A. Lubiw and J. Nešetřil*. Noncrossing subgraphs in topological layouts, *SIAM J. on Discr. Math.* 4(2) (1991), 223–244.
- [KS20] *R. Karasev and A. Skopenkov*. Some ‘converses’ to intrinsic linking theorems, *Discr. Comp. Geom.*, 70:3 (2023), 921–930, arXiv:2008.02523.
- [KS21] * *E. Kogan and A. Skopenkov*. A short exposition of the Patak-Tancer theorem on non-embeddability of k -complexes in $2k$ -manifolds, arXiv:2106.14010.
- [Ky20] *J. Kynčl*, Simple Realizability of Complete Abstract Topological Graphs Simplified, *Discr. Comp. Geom.*, 64 (2020) 1–27, arXiv:1608.05867.
- [Mat97] *J. Matoušek*. A Helly-type theorem for unions of convex sets. *Discr. Comp. Geom.*, 18:1 (1997) 1–12.
- [MNS] * *A. Мирошников, О. Никитенко и А. Скопенков*. Циклы в графах и в гиперграфах: в направлении теории гомологий, *Мат. Просвещение*, 35 (2025), 137–184, arXiv:2406.16705.
- [Mo77] * *E. E. Moise*. *Geometric Topology in Dimensions 2 and 3 (GTM)*, Springer-Verlag, 1977.
- [MTW] *J. Matoušek, M. Tancer, U. Wagner*. Hardness of embedding simplicial complexes in \mathbb{R}^d , *J. Eur. Math. Soc.* 13:2 (2011), 259–295. arXiv:0807.0336.
- [MT01] * *B. Mohar and C. Thomassen*. *Graphs on Surfaces*. The John Hopkins University Press, 2001.
- [Ni22] *R. Nikkuni*. Converses to generalized Conway-Gordon type congruences, *Tokyo J. Math.* 47, No. 2, 353–364 (2024). arXiv:2211.00408.
- [Pe08] *Д. Пермяков*. Классификация погружений графов в плоскость, *Вестник МГУ, сер.1*, 2008, N5, 55–56.
- [Pe16] *Д. Пермяков*. *Матем. сб.*, 207:6 (2016), 93–112.
- [Po] * https://en.wikipedia.org/wiki/Polyhedral_graph
- [PSS] *M. J. Pelsmajer, M. Schaefer, D. Stasi*. Strong Hanani-Tutte on the projective plane. *SIAM J. Discrete Math.*, 23:3 (2009) 1317–1323.
- [PT19] *P. Paták and M. Tancer*. Embeddings of k -complexes into $2k$ -manifolds. *Discrete Comput. Geom.* 71 (2024), 960–991. arXiv:1904.02404.
- [RS04] *N. Robertson and P. Seymour*. Graph Minors. XX. Wagner’s conjecture, *J. of Comb. Theory, B*, 92:2 (2004) 325–357.
- [Sc13] * *M. Schaefer*. Hanani-Tutte and related results. In *Geometry — intuitive, discrete, and convex*, *Bolyai Soc. Math. Stud.*, 24 (2013), 259–299. <http://ovid.cs.depaul.edu/documents/htsurvey.pdf>
- [Sk] * *А. Скопенков*. Алгебраическая топология с алгоритмической точки зрения, <http://www.mccme.ru/circles/oim/algor.pdf>.
- [Sk02] *A. Skopenkov*, On the Haefliger-Hirsch-Wu invariants for embeddings and immersions, *Comment. Math. Helv.* 77 (2002), 78–124.
- [Sk05] * *A. Skopenkov*, On the Kuratowski graph planarity criterion, *Mat. Prosveschenie*, 9 (2005), 116–128. arXiv:0802.3820.
- [Sk05i] *A. Skopenkov*, A new invariant and parametric connected sum of embeddings, *Fund. Math.* 197 (2007) 253–269. arxiv:math/0509621.
- [Sk06] * *A. Skopenkov*, Embedding and knotting of manifolds in Euclidean spaces, *London Math. Soc. Lect. Notes*, 347 (2008) 248–342. arXiv:math/0604045.
- [Sk06c] *A. Skopenkov*, Classification of embeddings below the metastable dimension, arXiv:math/0607422.

- [Sk14] * *A. Скопенков*, Реализуемость гиперграфов и неотъемлемая зацепленность, *Мат. просвещение*, 32 (2024), 125–159. arXiv:1402.0658.
- [Sk16] * *A. Скопенков*, A user’s guide to the topological Tverberg Conjecture, arXiv:1605.05141v5. Abridged earlier published version: *Russian Math. Surveys*, 73:2 (2018), 323–353.
- [Sk18] * *A. Скопенков*. Invariants of graph drawings in the plane. *Arnold Math. J.*, 6 (2020) 21–55; full version: arXiv:1805.10237.
- [Sk20] * *A. Скопенков*, Алгебраическая топология с геометрической точки зрения, Москва, МЦНМО, 2020 (2е издание). Обновляемая версия части книги: <http://www.mccme.ru/circles/oim/obstruct.pdf>
- [Sk20e] * *A. Скопенков*. Extendability of simplicial maps is undecidable, *Discr. Comp. Geom.*, 69:1 (2023), 250–259, arXiv:2008.00492.
- [Sk23’] * *A. Скопенков*. Invariants of graph drawings in the plane (in Russian). *Mat. Prosveschenie*, 31 (2023), 74–127.
- [Sk24] *A. Скопенков*. Embeddings of k -complexes in $2k$ -manifolds and minimum rank of partial symmetric matrices, arXiv:2112.06636v4.
- [Sk24’] * *A. Скопенков*. Двойные и тройные коэффициенты зацепления в пространстве. *Мат. просвещение*, 33 (2024), 87–132.
- [SS13] *M. Schaefer and D. Štefankovič*. Block additivity of \mathbb{Z}_2 -embeddings. In *Graph drawing*, volume 8242 of *Lecture Notes in Comput. Sci.*, 185–195. Springer, Cham, 2013. <http://ovid.cs.depaul.edu/documents/genus.pdf>
- [SS92] *J. Segal and S. Spiež*. Quasi embeddings and embeddings of polyhedra in \mathbb{R}^m , *Topol. Appl.*, 45 (1992) 275–282.
- [SSS] *J. Segal, A. Скопенков and S. Spiež*. Embeddings of polyhedra in \mathbb{R}^m and the deleted product obstruction, *Topol. Appl.*, 85 (1998), 225–234.
- [SS23] *A. Скопенков and O. Styrť*, Embeddability of joinpowers, and minimal rank of partial matrices, arXiv:2305.06339.
- [ST17] *A. Скопенков and M. Tancer*, Hardness of almost embedding simplicial complexes in \mathbb{R}^d , *Discr. Comp. Geom.*, 61:2 (2019), 452–463. arXiv:1703.06305.
- [Ta94] *K. Taniyama*, Cobordism, homotopy and homology of graphs in \mathbb{R}^3 , *Topology* 33:3 (1994), 509–523.
- [Ta95] *K. Taniyama*, Homology classification of spatial embeddings of a graph, *Topol. Appl.* 65 (1995) 205–228.
- [Tu84] * *W.T. Tutte*. *Graph Theory*, Longman Higher Education, 1984.
- [Wu65] * *W. T. Wu*. *A Theory of Embedding, Immersion and Isotopy of Polytopes in an Euclidean Space*. Peking: Science Press, 1965.

Книги, обзоры и методические статьи в этом списке помечены звездочками.

Э. Алкин: МОСКОВСКИЙ ЦЕНТР НЕПРЕРЫВНОГО МАТЕМАТИЧЕСКОГО ОБРАЗОВАНИЯ.

А. Мирошников: МОСКОВСКИЙ ФИЗИКО-ТЕХНИЧЕСКИЙ ИНСТИТУТ.

А. Скопенков: МОСКОВСКИЙ ЦЕНТР НЕПРЕРЫВНОГО МАТЕМАТИЧЕСКОГО ОБРАЗОВАНИЯ, [HTTPS://USERS.MCCME.RU](https://users.mccme.ru)